

**REPUBLIQUE ALGERIENNE DEMOCRATIQUE ET POPULAIRE**

**MINISTERE DE L'ENSEIGNEMENT SUPERIEUR  
ET DE LA RECHERCHE SCIENTIFIQUE**

**UNIVERSITE MENTOURI CONSTANTINE**

**FACULTE DES SCIENCES DE L'INGENIEUR.**

**DEPARTEMENT DE GENIE MECANIQUE**

**MEMOIRE**

Présenté en vue d'obtenir le diplôme de

MAGISTER en Génie Mécanique

Option: CONSTRUCTION

***SIMULATION NUMERIQUE DU COMPORTEMENT  
ELASTOPLASTIQUE CYCLIQUE DES MATERIAUX DE  
CONSTRUCTION***

Par

BOUMAH RAT Nouredine

Soutenu le:  
Devant le jury:

Président :	Université Mentouri Constantine
Rapporteur :	Université Mentouri Constantine
Examineur :	Université Mentouri Constantine
Examineur :	Université Mentouri Constantine

*Année 2009*

---

## REMERCIEMENT

*Je voulais remercier mon promoteur Pr.MEZIANI pour l'aide précieuse que m'avez apportée.*

*Je tiens à remercier : ma mère, mon père, mes frères et sœurs*

*Merci a mes amies : Mehdi, Fouaze, Redouane.*

*Merci a tous les enseignants qui ont participer a ma formation durant toutes mes études universitaires.*

*Merci enfin a tous ceux qui mon entendu, qui mon compris et qui ont bien voulu m'aider.*

*BOUMAHRAAT Nouredine*

---

# ***Table des matières***

# Table des matières

## INTRODUCTION GENERALE

Contexte industriel .....	5
Objectif de l'étude .....	7
Organisation du mémoire.....	7

## CHAPITRE I : Introduction aux phénomènes cycliques

I.1 Théorie De Plasticité.....	9
I.2 Critères De Plasticité .....	9
I.3 Critère De Fatigue Multiaxiale À Grand Nombre De Cycles .....	10
I.3.1 Critère de Tresca (1868).....	10
I.3.2 Critère de Von Mises (1913).....	10
I.3.3 Critère de Mohr-Coulomb (ou de Coulomb-Navier).....	11
I.3.4 Critère de HILL .....	12
I.4 Critère De Résistance.....	12
I.5 Mécanismes Physiques De Déformation.....	13
I.5.1 Déformation élastique.....	13
I.5.2 Déformation permanente.....	13
I.5.2.1 Déformation par glissement et maclage.....	13
I.5.2.2 Déformation par mouvements de dislocations.....	14
I.5.3- Déformations visqueuses.....	15
I.6 Cycles De Déformation.....	15
I.6.1 Cycle a contrainte imposé .....	16
I.6.2 Cycle a déformation imposée .....	17
I.7 Les Briques Pour La Construction D'un Modèle.....	17

## CHAPITRE II : Etude des différents modes de comportement

II.1 Comportement mécanique en fatigue plastique des matériaux.....	19
II.1.1. Effet BAUCHINGER.....	19
II.1.2 Effet de ROCHET.....	20
II.1.3 Durcissement -adoucissement cyclique.....	20
II.2 Comportement sous sollicitations cycliques multiaxiales.....	22

II.3 Comparaison du comportement sous différentes directions de sollicitation...	22
II.4 Schématisation de l'érouissage.....	23
II.4.1 érouissage isotrope.....	23
II.4.2 érouissage cinématique.....	24
II.4.3 bilan.....	25
II.5 Chargements cycliques.....	25
II.5.1 critère de charge - décharge.....	26
II-5.2 définition du trajet chargement.....	26
II-5.3 Influence de la forme du trajet de chargement .....	28
 <b>CHAPITRE III : Lois de comportement</b>	
III.1 Formulation des lois de comportement.....	32
III.1.1 Hypothèse de partition.....	32
III.1.2 Choix des variables thermodynamiques.....	32
III.2 Lois a érouissage isotrope.....	33
III.2.1 Lois a érouissage isotrope linéaire.....	34
III.2.2 Loi a érouissage isotrope non linéaire.....	35
III.3 lois a érouissage cinématique.....	35
III.3.1 Loi a érouissage cinématique linéaire (loi de PRAGER).....	37
III.3.2 Loi a érouissage cinématique non linéaire (modèle d'AMSTRONG et FREDERICK)	38
III.3.3 Loi a érouissage isotrope et cinématique non linéaire (modèle de CHABOCHE)	39
 <b>CHAPITRE IV : Identification des différents paramètres simulation numérique des modèles cycliques</b>	
IV.1 modèle a érouissage isotrope linéaire.....	41
IV.2 modèle a érouissage isotrope non linéaire.....	43
IV.3 modèle de PRAGER.....	45
IV.4 model d' AMSTRONG et FREDERICK.....	47
IV.5 modèle de CHABOCHE.....	49
 <b>CHAPITRE V : Interprétation des résultats</b>	
V.1 Résultats de simulation.....	54
V.1.1 Modèle a érouissage isotrope non linéaire.....	54
V.1.2 Modèle de PRAGER.....	56

V.1.3 Modèle D' AMSTRONG et FREDERICK.....	58
V.1.4 Modèle de CHABOCHE.....	60
V.2 Commentaire sur les résultats.....	61
V.3 Tests sur des essais combinant la traction et la torsion.....	62
V.3.1 Premier cas : Déformation imposée en traction.....	62
V.3.2 Deuxième cas : Déformation imposée dans la direction de torsion.....	63
V.3.3 Troisième cas.....	64
V.3.4 Tests sur le rochet.....	66
CONCLUSION GENERALE.....	70
<b>ANNEXES</b>	
Module de YOUNG.....	73
Eprouvette d'essai.....	76
Symboles.....	77
BIBLIOGRAPHIE.....	80
Résumé.....	83

# ***Introduction générale***



## **INTRODUCTION GENERALE**

### **►Contexte industriel**

La résistance à la fatigue des pièces et structures mécaniques dépend de nombreux facteurs et bien entendu du matériau qui les constitue. Mais elles seront d'autant plus fiables que leur concepteur aura pris soin de leur éviter toute concentration inopportune de contraintes.

Près de la moitié des avaries survenues en service sur des pièces ou structures mécaniques sont des ruptures par fatigue. Le chargement cyclique des zones critiques où se concentrent les contraintes en est à l'origine. Dans ces zones, l'endommagement progressif du matériau se manifeste par l'apparition de microfissures, apparition plus ou moins rapide selon la nature du matériau et l'importance du chargement appliqué.

Après cette période d'amorçage, l'une des fissures ou plusieurs d'entre elles vont se propager dans toute l'épaisseur de la pièce jusqu'à la rupture brutale.

En fait, il y a fort longtemps que l'on se préoccupe du comportement dit plastique des matériaux (comportement jouant un grand rôle dans l'écroutissage des matériaux): les premiers travaux scientifiques relatifs à la plasticité remontent à 1864 avec le mémoire de TRESCA, ingénieur des ponts et de chaussées, sur le critère de la contrainte de cisaillement maximale. La loi d'écoulement isotrope était formulée dès 1871 par SAINT VENANT et LEVY, mais il fallut attendre les années 1950 pour voir son utilisation dans les problèmes de structures, grâce à l'avènement des ordinateurs rapides et de grande capacité. Vers 1950, PRAGER a donné la plupart des théories actuelles de l'écroutissage.

PRAGER, W A a étudié un nouveau modèle d'écroutissage dans lequel le matériau est supposé suivre une loi linéaire avec conservation de la taille du domaine élastique. Les effets du temps n'étaient pas pris en compte. Les résultats obtenus dans cette étude ont fait naître un modèle d'écroutissage différent du modèle isotrope et qui était nommé modèle cinématique de PRAGER [9]. Plusieurs études plus tard étaient menées en se basant sur ce modèle.

CHERBIT, G. A a étudié le comportement élastoplastique de l'acier 316L à 650°C dont l'effet du temps était pris en considération. L'essai de fluage était effectué avec et sans surcharge primaire ou secondaire, et une comparaison entre ces différents essais était effectuée. Les résultats obtenus ont permis de voir clairement le



comportement viscoplastique du matériau ainsi que l'influence de l'effet de la surcharge sur le comportement du matériau [10].

CHABOCHE J. L. A effectué une étude numérique et expérimentale de l'essai de fluage sur l'acier 316 L à 360° à partir d'une modélisation d'équations constitutives pour la plasticité cyclique et la viscoplasticité [4]. Cette étude étant ajoutée au travail qu'il a mené [8], a mis en évidence un nouveau modèle nommé modèle de CHABOCHE dans lequel deux types d'érouissage étaient pris en compte une combinaison entre un modèle isotrope et un modèle cinématique.

TALEB L. A rapporté une étude sur l'effet de surcharge de courte durée sur le comportement du matériau. Les résultats obtenus lui ont permis de constater la différence qui existait entre le cas où le chargement est de courte durée et le cas où le chargement est constant [11]. Ces résultats étaient par la suite confirmés par d'autres études.

Il a également mené une étude expérimentale qui avait pour objectif de viser l'analyse de la déformation progressive des structures soumises à des chargements thermomécaniques, ainsi que l'étude de l'effet de surcharge sur le comportement de la structure. Pour cela une nouvelle hypothèse sur les éprouvettes a été validée et par la suite utilisée dans plusieurs travaux.

RAKOTOVELO A. A effectué un travail concernant l'évaluation de l'état limite dans les structures métalliques sous chargement thermomécanique cyclique dans un état bi axial de contraintes. L'effet des surcharges mécaniques accidentelles a été également analysé.

LOSILLA G. A fait un travail concernant l'étude théorique et expérimentale du comportement plastique anisotrope des métaux en déformation finie à partir d'une formulation d'un critère anisotrope. Une modélisation de l'érouissage a été faite, elle a permis de prendre en compte l'influence de la nature de la sollicitation et l'effet de l'anisotropie induite au cours de l'histoire du chargement. Cette approche théorique, qui définit un ensemble de fonctions d'érouissage élémentaires, a donné de bons résultats lors de la modélisation de l'érouissage anisotrope observé expérimentalement pour une limite élastique définie par un fort et un faible offset. Cette étude a nécessité la mise en œuvre et le développement d'une presse de traction bi axiale directe et l'emploi d'une éprouvette cruciforme optimisée [12].

## ►Objectif de l'étude

Ce travail a pour objectif d'identifier expérimentalement, pour un matériau choisi, les différents modèles de comportement en élastoplasticité. Cette identification se fait à partir de résultats expérimentaux bibliographiques. Une simulation numérique de ces résultats est ensuite faite en utilisant chaque modèle de comportement, dans le but de mettre en évidence les avantages et les inconvénients de chacun et ainsi de choisir le modèle qui se rapproche le plus du comportement réel du matériau. Pour cela une représentation graphique du premier cycle été faite.

## ►Organisation du mémoire

Ce mémoire s'articule autour de deux partie, la première s'intéresse a une étude théorique .Plusieurs chapitres compose la première partie.

- Le premier chapitre présente une recherche bibliographique, il présente également les critères fondamentaux de plasticité.
- Le deuxième chapitre présente une étude sur les différents modes de comportement ainsi une schématisation de l'érouissage et le chargements cycliques.
- Le troisième chapitre présente les lois de comportement.

La deuxième partie est composée de deux chapitres:

- Le quatrième chapitre aborde la simulation numérique de l'essai choisi, le choix des données expérimentales étant éventuellement représenté.
- Le cinquième chapitre traite l'interprétation des résultats pour les différents modèles, suivie d'une conclusion générale.

# CHAPITRE 1.

## ***Introduction aux phénomènes cycliques***

*I.1 THEORIE DE PLASTICITE.*

*I.2 CRITERES DE PLASTICITE.*

*I.3 CRITERE DE FATIGUE MULTIAXIALE À GRAND NOMBRE DE CYCLES.*

*I.4 CRITERE DE RESISTANCE.*

*I.5 MECANISMES PHYSIQUES DE DEFORMATION.*

*I.6 CYCLES DE DEFORMATION.*

*I.7 LES BRIQUES POUR LA CONSTRUCTION D'UN MODELE*

## I.1 THEORIE DE PLASTICITE

La théorie de la plasticité s'attache à décrire les déformations irréversibles et indépendantes du temps. Dans ce cadre, une hypothèse importante est la partition entre les déformations élastiques et plastiques ( $\epsilon = \epsilon^e + \epsilon^p$ ), ainsi que le découplage des comportements. De plus, le module d'Young variant peu avec la déformation plastique, il sera considéré comme constant, cette hypothèse restant valable jusqu'à de grands taux de déformation.

L'aspect irréversible de la plasticité entraîne la nécessité d'adopter une description incrémentale des lois d'écoulement en raison de la dépendance de la solution à l'historique du chargement [1].

## I.2 CRITERES DE PLASTICITE

Lors d'un essai de traction ou de compression unidimensionnel, la limite d'élasticité est définie comme étant la contrainte pour laquelle apparaissent les premières déformations plastiques. En deçà de cette limite, toutes les déformations générées pendant le chargement de l'éprouvette peuvent être recouvrées. Cette définition du domaine élastique pour un essai uniaxial doit être généralisée dans le cas d'un chargement complexe. Cette généralisation tridimensionnelle est appelée *critère de plasticité*. Elle permet de définir, dans l'espace des contraintes, la région pour laquelle le matériau aura un comportement élastique. Nous nous bornerons ici à la définition des deux critères isotropes les plus utilisés pour les métaux, les critères de Von Mises et de Tresca.

L'expression de ces critères dépend à priori de toutes les composantes du tenseur des contraintes ainsi que de la limite élastique. Cependant, quelques remarques préliminaires vont nous permettre de donner une forme générale des critères isotropes. Tout d'abord, en raison de l'isotropie et donc de l'invariance par rapport aux repères, seuls les trois invariants du tenseur des contraintes peuvent entrer en compte. De plus, en raison de l'incompressibilité plastique par rapport à la contrainte hydrostatique, seuls les invariants  $J_2$  et  $J_3$  du déviateur des contraintes,  $\sigma$  peuvent intervenir. Nous obtenons ainsi l'expression générale des critères isotropes [1] :

$$f(J_2, J_3, \sigma_s) = 0 \text{ avec } J_2 = \left( \frac{3}{2} \sigma'_{ij} \sigma'_{ij} \right)^{\frac{1}{2}} ; J_3 = \left( \frac{9}{2} \sigma'_{ij} \sigma'_{jk} \sigma'_{ki} \right)^{\frac{1}{3}}$$

### I.3 CRITERE DE FATIGUE MULTIAXIALE À GRAND NOMBRE DE CYCLES

Lorsque l'on doit estimer la tenue en service d'une pièce mécanique soumise à un chargement complexe et que l'on ne dispose comme élément de comparaison que de la seule limite de fatigue en traction compression du matériau, la méthode consiste à définir une contrainte équivalente à l'état de contraintes multiaxiales.

Cette contrainte équivalente étant calculée, on pourra la comparer aux diagrammes d'endurance classique : courbe de Wöhler, diagrammes de Haigh ou de Goodman.

Pour déterminer cette contrainte équivalente qui, par définition, doit conduire au même coefficient de sécurité que l'état de contrainte complexe, il est nécessaire de faire intervenir un critère.

La plupart des critères utilisés jusqu'à ce jour dérivent des deux critères de plasticité de Mises et de Tresca [1].

#### I.3.1 Critère de Tresca (1868)

C'est un critère qui limite l'intensité de la contrainte tangentielle :  $|\tau| \leq \tau_o$

Comme la contrainte tangentielle maximale est égale au rayon du plus grand cercle de Mohr, ce critère s'exprime en fonction des contraintes principales par :

$$f(\sigma) = \frac{1}{2}(\sigma_1 - \sigma_3) - \tau_o \leq 0$$

$\tau_o$  est une constante matérielle correspondant au seuil de contrainte lors d'un essai de cisaillement simple [2].

#### I.3.2 Critère de Von Mises (1913)

Ce critère limite la densité d'énergie de distorsion, c'est à dire la quantité :

$$W_d = \frac{1}{2} \sum_{i,j} s_{ij} e_{ij}$$

où les  $S_{ij}$  et  $e_{ij}$  sont les composantes des déviateurs des contraintes et des déformations, respectivement. Si l'on suppose un comportement élastique on a  $s_{ij} = 2Ge_{ij}$  critère peut s'écrire sous la forme :

$$f(\sigma) = \frac{1}{2} \|\text{dev}\sigma\|^2 - k^2 \leq 0$$

Où  $k$  est une constante matérielle. Ecrit sous cette forme,  $k$  correspond, là aussi, au seuil en cisaillement simple.

On peut aussi expliciter ce critère en contrainte principale [2]:

$$(\sigma_1 - \sigma_2)^2 + (\sigma_2 - \sigma_3)^2 + (\sigma_3 - \sigma_1)^2 - 6k^2 \leq 0$$

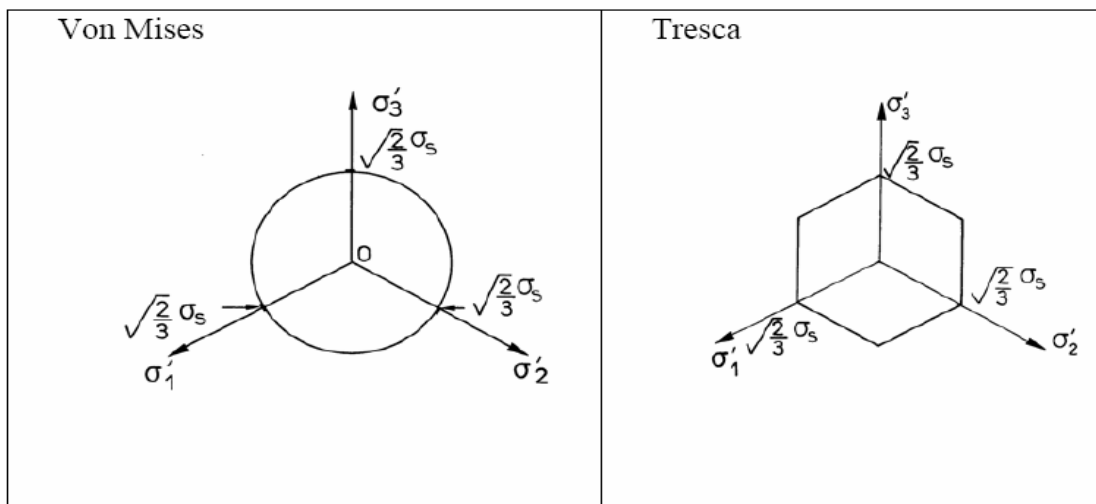
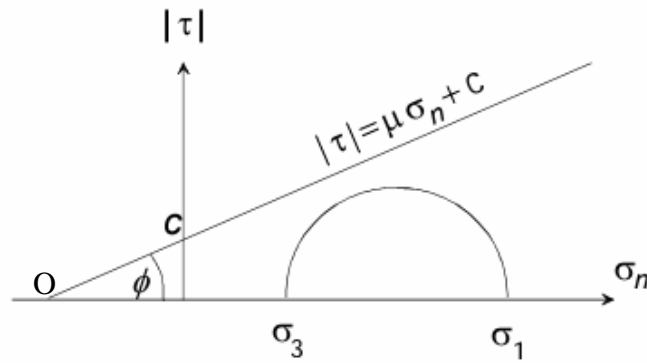


Figure I.1- Représentation des critères dans l'espace des contraintes déviateuriques [1].

### I.3.3 Critère de Mohr-Coulomb (ou de Coulomb-Navier)

Les deux critères précédents ne dépendent pas de la pression ou de la contrainte normale ; aucune irréversibilité n'est donc possible sous un état de contrainte qui limite hydrostatique. De plus, les seuils en traction ou en compression sont les mêmes. Ils sont pour cette raison peu adaptés aux roches et aux sols. Un critère pouvant être vu comme la généralisation de celui de Tresca est le critère de Mohr-Coulomb qui limite l'étendue des demi cercles de Mohr à une zone comprise entre l'axe  $O\sigma_n$  et une droite de pente  $\mu = \tan\varphi$ :



Ce critère s'écrit donc:

$$f(\sigma) = |\tau| - \mu \sigma_n - c \leq 0$$

Lorsqu'il y a égalité le plus grand cercle de *Mohr* est tangent à la droite.

La pente de cette droite,  $\mu = \tan \phi$ , est appelé coefficient de frottement interne,  $\phi$  est l'angle de frottement interne. L'ordonnée à l'origine,  $c$ , représente la cohésion du matériau.

En utilisant les expressions de  $\sigma_n$  et de  $\tau$  en fonction des contraintes principales lorsque l'on se trouve sur le grand cercle de *Mohr*, on peut exprimer le critère de *Mohr-Coulomb* en fonction des contraintes principales :

$$\sigma_1(1 - \sin \phi) - \sigma_3(1 + \sin \phi) - 2c \cos \phi \leq 0$$

Remarquons que dans ce critère la contrainte intermédiaire,  $\sigma_2$ , ne joue aucun rôle [2].

### I.3.4 Critère de HILL

Il correspond à une anisotropie particulière qui conserve trois plans de symétrie dans l'état d'écroutissage du matériau. Les intersections de ces trois plans sont les axes principaux d'anisotropie qui sont pris comme repère pour l'écriture du critère [2].

## I.4 CRITERE DE RESISTANCE

L'expérience de tous les jours semble montrer que les solides ne résistent pas à des efforts trop élevés : un fil se casse sous l'effet d'une traction, la carrosserie d'une voiture s'écrase sous l'effet d'un choc. Cette limite de résistance peut généralement être traduite sous forme d'une condition sur l'état local de contrainte du solide considéré, de la forme :  $f(x, \sigma(x)) \leq 0$  appelée critère de résistance.

## **I.5 MECANISMES PHYSIQUES DE DEFORMATION**

Ce chapitre est consacré à une description rapide et très générale des aspects structuraux du comportement mécanique des solides cristallins. Du point de vue structural, le monocristal parfait, composé d'atomes vibrants autour de leurs positions d'équilibre, correspond au cas le plus simple. La réponse d'un tel système à une excitation mécanique suffisamment petite, correspond au comportement élastique parfait, linéaire ou non, mais toujours réversible et non dissipatif.

Un cas un peu plus complexe, est celui du cristal contenant des défauts ponctuels tels que les lacunes, les interstitielles, les atomes étrangers, etc. Selon le cas, ce système présente, même pour une petite excitation mécanique, des réponses assez diverses: anélasticité, frottement interne, fluage. Dans ce cas, il y a toujours dissipation d'énergie et dans certains cas, une déformation permanente [4].

Le comportement macroscopique observé lors d'une excitation est en fait le résultat de déformations locales à une échelle microscopique. Cet aspect microscopique est fondamental pour la compréhension physique des phénomènes.

### **I.5.1 Déformation élastique**

Les déformations élastiques se situant au niveau atomique, sont le résultat des variations des espaces inter atomiques nécessaires pour équilibrer les sollicitations extérieures, ainsi les mouvements sont réversibles. La configuration initiale est retrouvée après décharge.

### **I.5.2 Déformation permanente**

Les déformations permanentes plastiques se situent au niveau cristallin et se superposent aux déformations élastiques. Elles correspondent à des déplacements relatifs d'atomes, stables après cessation de la sollicitation. Suivant le cas, ces déformations sont purement inter granulaires (intérieures aux grains) ou font intervenir des déplacements inter granulaires. En pratique ces déplacements ne modifient pas la structure cristalline car le volume reste inchangé, on parle d'incompressibilité plastique.

#### **I.5.2.1 Déformation par glissement et maillage**

Les plans de symétrie des mailles, qui sont aussi les plans de grande densité d'atomes, correspondent aux distances les plus grandes entre plans parallèles. C'est donc dans ces plans que des glissements par cisaillement, peuvent se produire dans la direction de la contrainte tangentielle maximale.

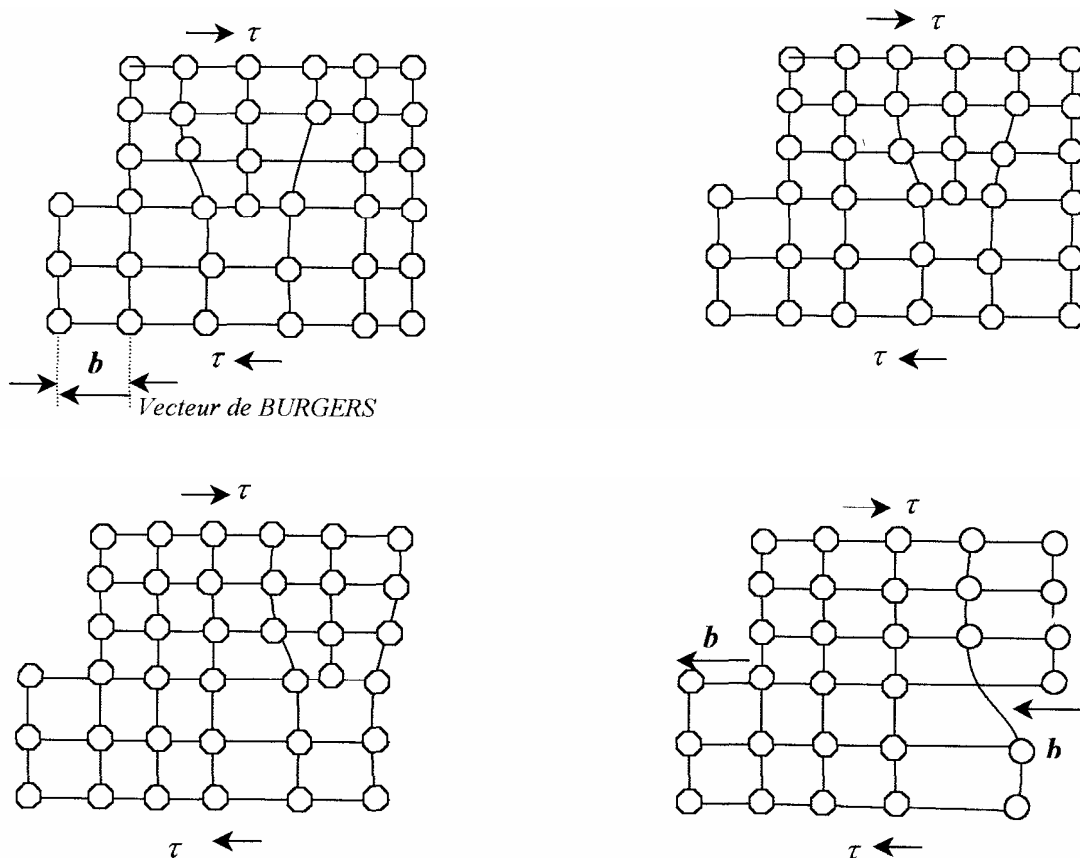


Ces défauts de glissements et de maillage, constituent des déformations hétérogènes à l'échelle du cristal mais que l'on peut aussi considérer comme homogène à l'échelle macroscopique [5].

### I.5.2.2 Déformation par mouvements de dislocations

La présence de dislocations réduit considérablement la stabilité du réseau cristallin. Leur mobilité est la cause essentielle des déformations permanentes, homogènes à l'échelle macroscopique.

- **Déplacement par glissement:** lorsque, sous l'action d'une sollicitation extérieure, une dislocation coins ou vis se déplace, elle engendre un déplacement irréversible de vecteur égal au vecteur de BURGERS.



**Figure 1.2- Déplacement par glissement d'une dislocation**

Dans la figure 1.2, la dislocation se déplace vers l'autre extrémité et sort à droite. Ce mécanisme fait glisser la partie inférieure du cristal d'une distance  $b$  (appelée vecteur de BURGERS) par rapport à la partie supérieure. Ce mécanisme de déplacement n'exige la rupture de liaisons qu'au voisinage de la ligne de dislocation et successivement d'un atome à l'autre.

• **Déplacement par montée** : Une dislocation coin peut se déplacer perpendiculairement à son plan de glissement avec transport de matière. Une lacune étant proche d'une ligne de dislocation, une distorsion du réseau, engendrée par une sollicitation extérieure, peut provoquer le saut d'un atome du demi-plan supplémentaire sur le site cristallin inoccupé et la permutation de toutes les rangées d'atomes. Selon ce mécanisme, la dislocation est montée d'un espace inter atomique. Ce mécanisme de déplacement, lié à la diffusion des lacunes ou d'atomes étrangers, est favorisé par l'activation thermique; il intervient donc plutôt aux températures élevées ( $T > 1/3 T_f$ ,  $T_f$  étant la température de fusion) [6].

### I.5.3- Déformations visqueuses

Elles correspondent à la poursuite de la déformation alors que la charge est constante. Si la contrainte continue à croître, le glissement inter granulaire est favorisé par l'activation thermique et surtout sensible aux températures dépassant le tiers de la température de fusion. Une grande partie de la déformation reste cependant inter granulaire, avec glissement et montée des dislocations. La déformation se poursuit à contrainte constante, la possibilité d'équilibre n'existe plus, il y a écoulement de fluage.

## I.6 CYCLE DE DEFORMATION

Un cycle de déformation sous chargement peut être schématisé dans la figure suivante :

$\sigma_i^t$  et  $\sigma_i^c$  sont les limites d'élasticité initiales respectivement en traction et en compression.

$\sigma_a^t$  et  $\sigma_a^c$  sont les limites d'élasticité actuelles respectivement en traction et en compression.

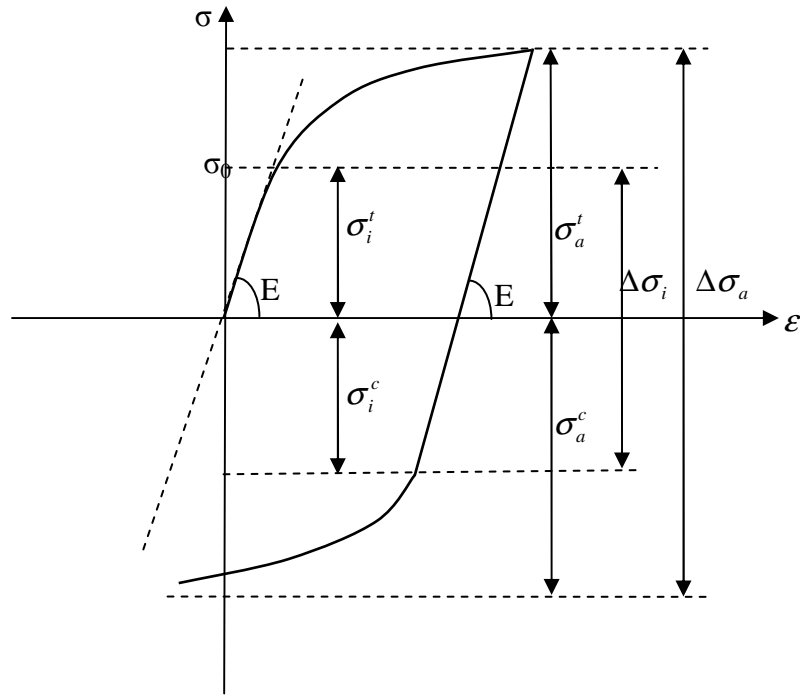


Figure I.3- Schématisation du cycle de déformation

### I.6.1 Cycle a contrainte imposé

◆ Après quelques cycles de plasticité le matériau prend un comportement élastique c'est le **durcissement**. (Fig I.5)(Diminution de la déformation).

◆ Augmentation progressive de la déformation a chaque cycle c'est l'adoucissement, (Fig I.4) (Augmentation de la déformation)

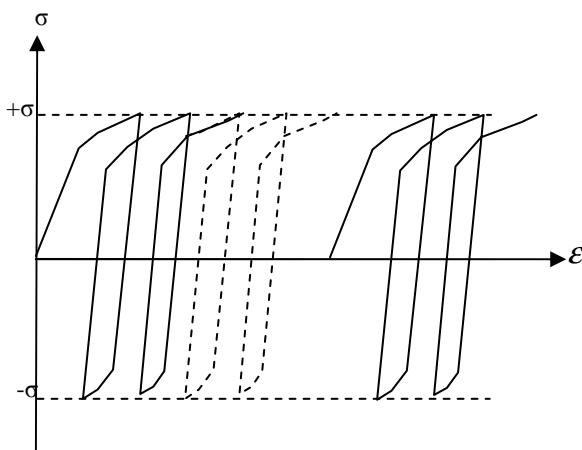


Figure I.4- Adoucissement

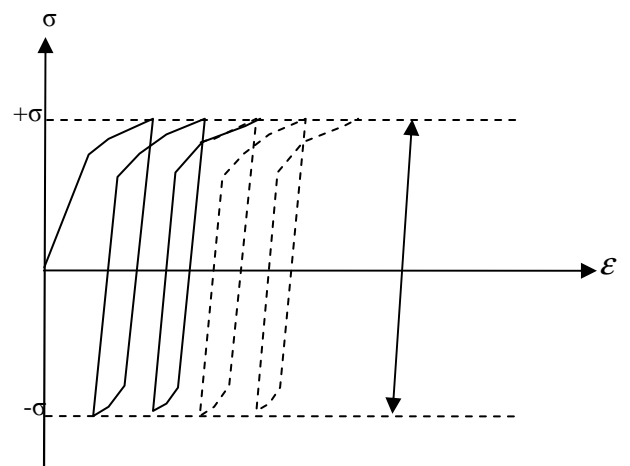


Figure I.5- Durcissement

**I.6.2 Cycle a déformation imposée**

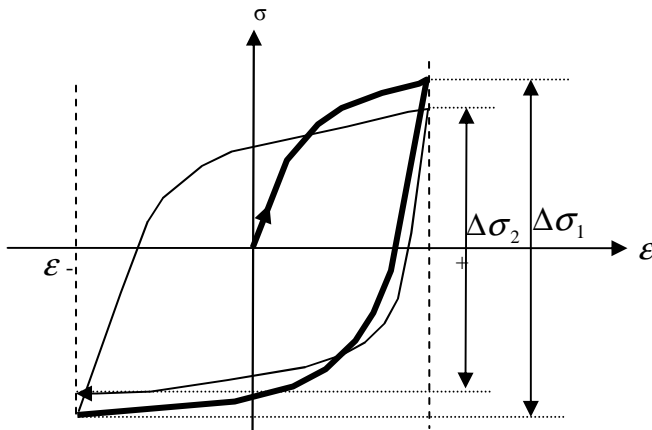


Figure I.6- Adoucissement

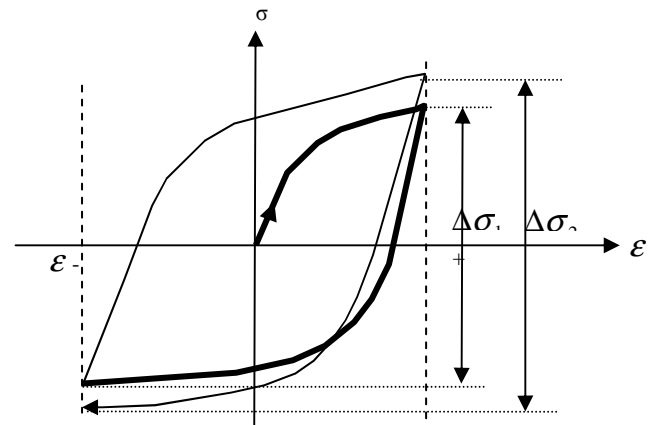


Figure I.7- Durcissement

**I.7 LES BRIQUES POUR LA CONSTRUCTION D'UN MODELE**

Ces modèles permettent d'avoir une image concrète et simplifiée des équations traduisant les lois de comportement générales qui, elles sont tensorielles.

<i>Ressort</i>		$\sigma = E\varepsilon$
<i>Amortisseur linéaire</i>		$\sigma = \eta\varepsilon$
<i>Amortisseur non linéaire</i>		$\sigma = \eta\varepsilon^{1/N}$
<i>Patin</i>		$-\sigma_y \leq \sigma \leq \sigma_y$

Tableau I.1 : Modèles analogiques

# CHAPITRE II

## ***Etude des différents modes de comportement***

*II.1 COMPORTEMENT MECANIQUE EN FATIGUE PLASTIQUE DES MATERIAUX.*

*II.2 COMPORTEMENT SOUS SOLLICITATIONS CYCLIQUES MULTIAXIALES*

*II.3 COMPARAISON DU COMPORTEMENT SOUS DIFFERENTES DIRECTIONS DE SOLLICITATION*

*II.4 SCHEMATISATION DE L'ECROUISSAGE.*

*II.5 CHARGEMENTS CYCLIQUES.*

Dans cette partie, nous rassemblons et discutons les données de la littérature concernant la fatigue plastique, ou oligocyclique. Nous nous intéressons en particulier à l'étude de l'influence de l'histoire des sollicitations sur le comportement mécanique.

Les études concernant le comportement en fatigue oligocyclique des matériaux sont encore peu nombreuses, alors que de nombreux auteurs se sont intéressés au comportement des matériaux austénitiques sous sollicitations cycliques, notamment sous sollicitations cycliques multiaxiales.

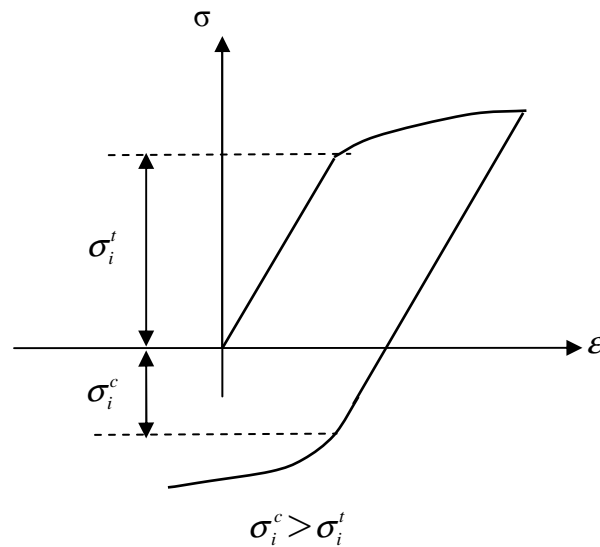
Le pilotage des essais de fatigue oligocyclique peut être réalisé de trois manières différentes : à *déformation totale imposée*, à *déformation plastique imposée* ou à *contrainte imposée*. Le premier mode est le plus usuellement rencontré dans la littérature. Le contrôle de la déformation plastique nécessite une boucle d'asservissement programmée par logiciel, il est donc plus délicat à mettre en oeuvre.

Ceci explique qu'un certain nombre d'auteurs ont choisi d'asservir la machine d'essai à la déformation mesurée, tout en contrôlant l'amplitude de déformation plastique. Le surbouclage numérique est alors effectué à la fin de chaque cycle pour déterminer l'amplitude du cycle suivant. Le troisième mode de pilotage, à savoir le contrôle de l'essai en contrainte, conduit à l'observation du phénomène de déformation progressive ou rochet.

## **II.1 COMPORTEMENT SOUS SOLLICITATIONS CYCLIQUES UNIAXIALES**

### **II.1.1. Effet BAUCHINGER**

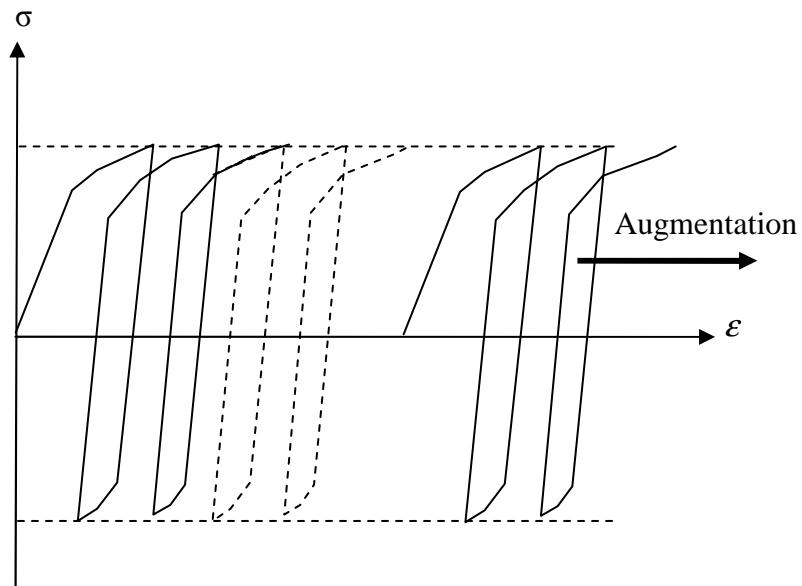
Il ne s'observe que dans les essais traction / compression. La traction écoule le matériau dans le sens de traction (augmentation de la limite d'élasticité) mais l'adouci dans le sens de la compression, donc on a un déplacement du centre du domaine élastique.



**Figure II.1- Effet BA UCHINGER**

### II.1.2 Effet de ROCHET

En appel l'augmentation progressive de la déformation a chaque cycle, même en régime stabilisé *effet de ROCHET*. (*Adoucissement de matériau*).



**Figure II.2- effet de ROCHET.**

### II.1.3 Durcissement -adoucissement cyclique

L'étude du comportement sous sollicitations cycliques induit l'examen de l'évolution de l'amplitude de contrainte au cours des cycles en fonction de l'amplitude de déformation imposée. Il est souvent possible de distinguer deux stades de consolidation cyclique : un stade d'évolution rapide de l'amplitude de contrainte, et un stade de saturation pendant lequel l'amplitude de contrainte reste constante ou quasi-constante.

### ◆ Adoucissement

L'adoucissement se manifeste lorsque l'amplitude de contrainte  $\Delta\sigma$  *diminue* au cour des cycles successifs a déformation imposé, ou lorsque la déformation  $\Delta\varepsilon$  *augmente* a contrainte imposé.

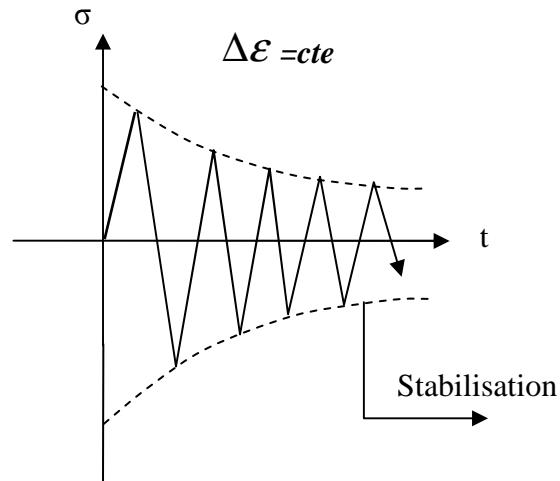


Figure II.3- Adoucissement

### ◆ Durcissement

Le durcissement se manifeste lorsque l'amplitude de contrainte  $\Delta\sigma$  *augmente* au cour des cycles successifs a déformation imposé, ou lorsque la déformation  $\Delta\varepsilon$  *diminue* a contrainte imposé.

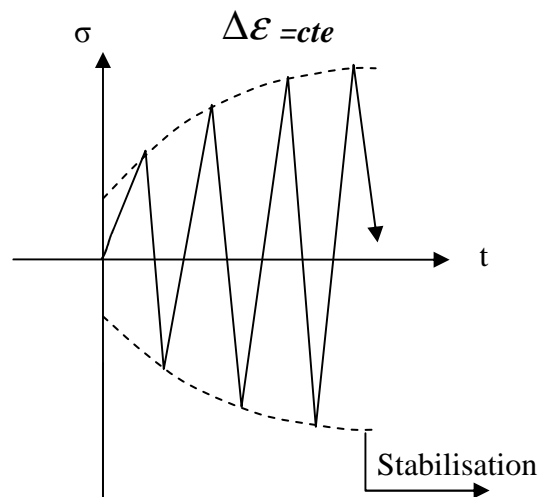


Figure II.4- Durcissement



## II.2 COMPORTEMENT SOUS SOLLICITATIONS CYCLIQUES MULTIAXIALES

Nous nous sommes intéressés jusqu'ici aux essais uniaxiaux, et en particulier aux essais de traction-compression, qui sont les essais les plus répandus et les plus faciles à analyser. Ce type d'essai n'est pourtant pas complètement représentatif des sollicitations réelles auxquelles sont soumises les pièces de construction. Pour tenir compte de la multiaxialité des contraintes, différents types d'essais ont été mis en place.

Historiquement, les premiers essais multiaxiaux datent du début du 20<sup>e</sup> siècle. Les éprouvettes de forme cylindrique tubulaire ont été les premières utilisées. Elles sont soumises à des sollicitations de traction-compression/torsion, ou de traction-compression/pression interne, voire de traction-compression/ torsion/pressions interne et externe. Ces éprouvettes présentent l'avantage d'avoir une distribution quasi homogène des contraintes et des déformations dans la zone utile, si le tube est d'épaisseur suffisamment fine. On parlera alors d'essai sur élément de volume. Avec le développement de machines d'essais à vérins non-coaxiaux, sont arrivés les essais de bi-traction ou de tri-traction, utilisés notamment pour l'étude de composites obtenus sous forme de plaques. Les éprouvettes ont alors une forme de plaque en croix ou de cube. Ce deuxième type d'essai est complexe à analyser car les contraintes et déformations ne sont pas homogènes dans la zone utile de l'éprouvette, il est donc nécessaire d'utiliser un calcul de structure pour dépouiller les résultats. La majorité des données sur le comportement cyclique des métaux concerne le premier type d'essai, nous nous focaliserons donc sur ces essais.

En fatigue uniaxiale, différents facteurs influencent le comportement du matériau, en particulier l'histoire du chargement, la vitesse de sollicitation et la température. Nous verrons que l'érouissage sous chargement multiaxial dépend fortement du trajet de chargement. La forme du trajet de chargement et ses changements de direction ont en particulier une influence prédominante.

## II.3 COMPARAISON DU COMPORTEMENT SOUS DIFFERENTES DIRECTIONS DE SOLLICITATION

Nous avons vu que sous sollicitations uniaxiales, l'évaluation de l'écrouissage cyclique se fait en déterminant l'amplitude de contrainte stabilisée obtenue pour une amplitude de déformation imposée, ou, à l'inverse, l'amplitude de déformation stabilisée pour une amplitude de contrainte imposée. On associe alors amplitude de contrainte et amplitude de déformation totale, ou amplitude de contrainte et amplitude de déformation plastique sur le cycle stabilisé.

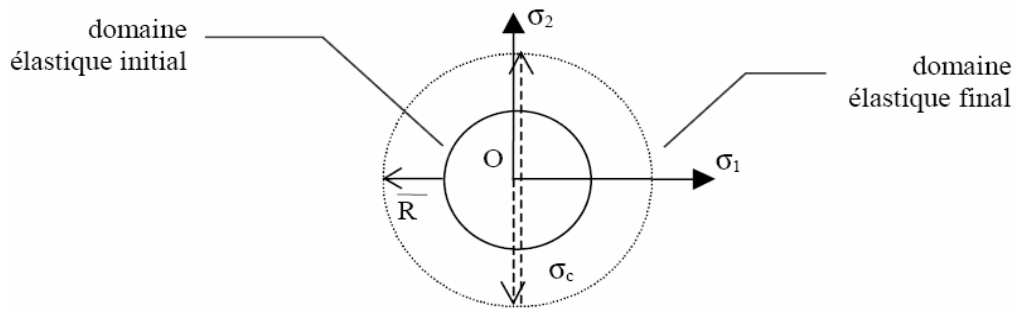
Pour des sollicitations multiaxiales, il faut définir des paramètres qui permettent de quantifier l'écrouissage et de comparer les niveaux de sollicitation entre eux. Il est nécessaire de définir une norme pour les tenseurs de contraintes et de déformations plastiques [3].

## II.4 SCHEMATISATION DE L'ECROUISSAGE

Lorsque l'écoulement plastique se produit, la limite d'élasticité évolue. Ainsi, si au cours d'un essai de compression, l'éprouvette est chargée à un niveau supérieur à la limite d'élasticité initiale, déchargée puis rechargée à nouveau, la limite d'élasticité finale au cours de ce second chargement sera différente de la limite d'élasticité initiale. L'écrouissage se manifeste par l'augmentation de la limite d'élasticité pendant l'écoulement et par la nécessité d'augmenter la contrainte appliquée pour poursuivre l'écoulement. Il existe plusieurs manières de représenter l'écrouissage. Dans cette partie, nous présenterons ces différents modèles ainsi que leur capacité à représenter les phénomènes observés physiquement [1].

### II.4.1 écoulement isotrope

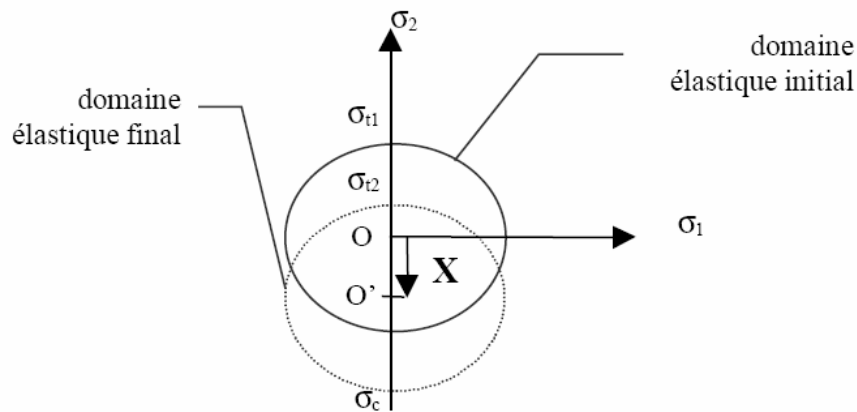
Un matériau peut être considéré à écoulement isotrope si son domaine d'élasticité ne dépend que d'une variable scalaire, c'est à dire si les lieux des points représentant la limite d'élasticité dans l'espace des contraintes se déduisent les uns des autres par une homothétie de centre O (figure II.5). Ainsi, si on comprime une éprouvette ayant initialement la même limite d'élasticité en traction et en compression jusqu'à une valeur  $\sigma_c$  puis que l'on fasse une traction, on retrouvera pour la limite en traction cette valeur  $\sigma_c$ :



**Figure II.5- Schématisation de l'érouissage isotrope**

## II.4.2 érouissage cinématique

Dans le cadre de l'érouissage cinématique, le domaine d'élasticité garde une taille constante, mais il se déplace dans l'espace des contraintes. Si on effectue un essai de traction sur une éprouvette vierge, on trouve une limite d'élasticité en traction initiale  $\sigma_{t1}$ . Si ce même essai est effectué après avoir comprimé l'éprouvette jusqu'à une valeur  $\sigma_c$  inférieure à la limite d'élasticité en compression, on trouve alors une limite d'élasticité en traction  $\sigma_{t2}$  inférieure à  $\sigma_{t1}$  (figure II.6). C'est l'effet Bauschinger, souvent observé dans les métaux.



**Figure II.6- Schématisation de l'érouissage cinématique**

On distingue l'érouissage cinématique linéaire de l'érouissage cinématique non linéaire. Le premier correspond à une relation linéaire entre le centre du domaine élastique (dans l'espace des contraintes) et le tenseur des déformations plastiques.

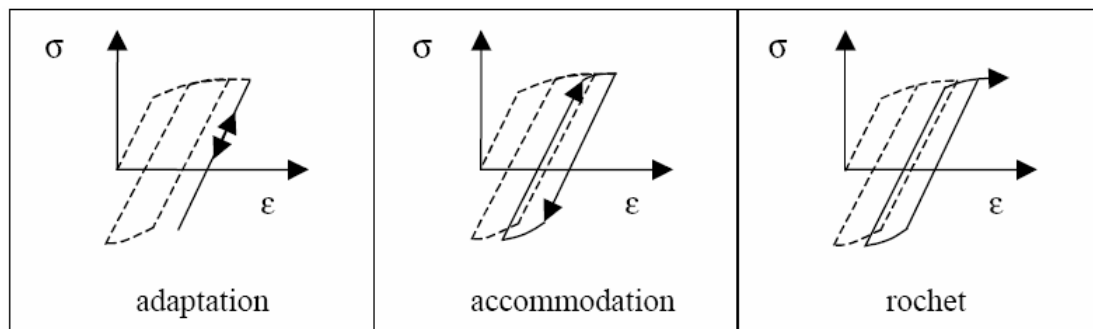
L'érouissage cinématique non linéaire est plus complexe et sort du cadre de la plasticité associée [1].

### II.4.3 bilan

Nous allons maintenant faire le point sur les phénomènes observés et sur les différentes schématisations permettant d'en rendre compte.

<i>érouissage</i>	Adaptation	Effet Bauschinger	Accommodation plastique	Rochet
isotrope	✓			
cinématique linéaire	✓	✓	✓	
cinématique non linéaire	✓	✓	✓	✓

Nous avons parlé ici de l'érouissage du matériau, à ne pas confondre avec l'érouissage structural. En effet, les déformations plastiques introduisent des changements géométriques permanents et, par leur hétérogénéité, des contraintes résiduelles qui peuvent provoquer une accommodation liée à l'évolution du chargement subi par la structure.



*Figure II.7- Comportements cycliques.*

## II.5 CHARGEMENTS CYCLIQUES

Sous chargement cyclique, les propriétés d'érouissage de la plupart des matériaux varient avec le nombre de cycles. On peut alors observer plusieurs phénomènes.

Au cours de chargements purement alternés, on peut observer un durcissement cyclique

si l'amplitude de déformation diminue à charge imposée ou si l'amplitude de contrainte augmente à déformation imposée. A l'inverse, on peut également observer un adoucissement cyclique.

Sous chargement cyclique à contrainte imposée, on peut alors observer (figure II.7):

- une adaptation: plastification durant les premiers cycles puis établissement d'un régime purement élastique.
- Une accommodation plastique: au bout de quelques cycles, la déformation plastique n'évolue plus.
- Un phénomène de rochet : la déformation plastique continue à augmenter à chaque cycle.

### II.5.1 critère de charge - décharge

Nous appellerons surface de charge la surface décrite par le critère de plasticité à l'état écroui du matériau. Pour qu'il y ait écoulement plastique, il est nécessaire de réunir deux conditions:

- Le point représentatif de l'état de contrainte est situé sur la surface de charge (la limite d'élasticité doit être atteinte):  $f(\sigma, V_k) = 0$ .
- Le point représentatif de l'état de contrainte reste sur la surface de charge, condition de consistance qui assure que le point  $(\sigma+d\sigma)$  soit lui aussi sur la surface de charge (l'état de contrainte ne revient pas à l'intérieur du domaine élastique) :  $df(\sigma, V_k) = 0$ .

Pour résumer:  $f < 0$  —————> comportement élastique

$f = 0$  et  $df = 0$  —————> écoulement plastique

$f = 0$  et  $df < 0$  —————> décharge élastique

### II-5.2 définition du trajet chargement

Dans le cas des essais cycliques, nous avons défini les caractéristiques du chargement par trois paramètres : le trajet de chargement, son amplitude et sa valeur moyenne. Comme le pilotage est réalisé en déformation totale, le trajet de chargement est défini dans le plan  $(\epsilon, \gamma/\sqrt{3})$  Figure II-8.[3].

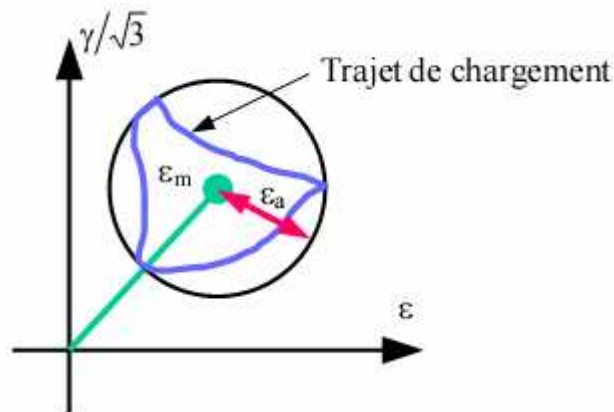


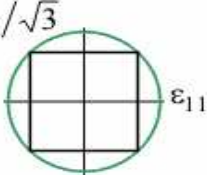
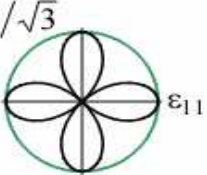
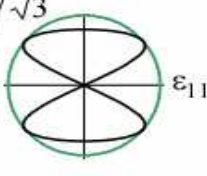
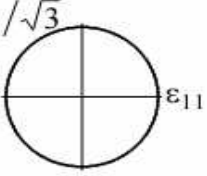
Figure II.8- Définition du trajet de chargement

L'amplitude de déformation du chargement  $\epsilon_a$  est le rayon du plus petit cercle circonscrit au trajet de chargement dans le plan  $(\epsilon, \gamma/\sqrt{3})$ , la déformation moyenne  $\epsilon_m$  est définie comme le centre de ce cercle.

La réponse en contrainte peut être tracée cycle par cycle dans le plan  $(\sigma, \sqrt{3} \tau)$ . On définit alors l'amplitude de contrainte équivalente  $\sigma_{eqa}$  comme le rayon du plus petit cercle circonscrit à cette réponse et la contrainte moyenne  $\sigma_m$  comme le centre de ce cercle. De la même façon, on parlera d'amplitude de déformation plastique équivalente  $\epsilon_{eqa}^p$  et de déformation plastique moyenne  $\epsilon_m^p$ .

Des essais monotones et cycliques ont été effectués selon 7 trajets de chargement sélectionnés, dont quatre trajets non-proportionnels, c'est-à-dire des trajets pendant lesquels le tenseur de pilotage ne reste pas proportionnel à lui-même. Leurs caractéristiques sont résumées dans le Tableau II-1 ci-dessous. Les trajets cercle et carré ne passent pas par l'origine, une portion de traction monotone permet de joindre l'origine et le trajet voulu au départ de l'essai [3].

	Trajet traction-compression	Trajet torsion	Trajet proportionnel 45
Trajets proportionnels	$\begin{cases} \epsilon_{11} = \epsilon_0 \cos(\theta) \\ \gamma_{12} = 0 \end{cases}$	$\begin{cases} \epsilon_{11} = 0 \\ \gamma_{12} = \sqrt{3} \epsilon_0 \cos(\theta) \end{cases}$	$\begin{cases} \epsilon_{11} = \sqrt{2}/2 \epsilon_0 \cos(\theta) \\ \gamma_{12} = \sqrt{3} \sqrt{2}/2 \epsilon_0 \cos(\theta) \end{cases}$

Trajets non-proportionnels	<p><b>Trajet carré</b></p> $\begin{cases} \varepsilon_{11} = \pm \sqrt{2}/2 \varepsilon_0 \\ \gamma_{12} = \sqrt{6}/2 \varepsilon_0 \cos(\theta) \end{cases} \quad \begin{cases} \varepsilon_{11} = \sqrt{2}/2 \varepsilon_0 \cos(\theta) \\ \gamma_{12} = \pm \sqrt{6}/2 \varepsilon_0 \end{cases}$ 	<p><b>Trajet trèfle</b></p> $\begin{cases} \varepsilon_{11} = \varepsilon_0 \sin(2\theta) \sin(\theta + \frac{3\pi}{4}) \\ \gamma_{12} = \sqrt{3} \varepsilon_0 \sin(2\theta) \sin(\theta + \frac{\pi}{4}) \end{cases}$ 
	<p><b>Trajet sablier</b></p> $\begin{cases} \varepsilon_{11} = 0,8 \varepsilon_0 \sin(2\theta) \\ \gamma_{12} = 0,8 \sqrt{3} \varepsilon_0 \sin(\theta) \end{cases}$ 	<p><b>Trajet cercle</b></p> $\begin{cases} \varepsilon_{11} = \varepsilon_0 \cos(\theta) \\ \gamma_{12} = \sqrt{3} \varepsilon_0 \sin(\theta) \end{cases}$ 

**Figure II.9- différents trajets de chargement**

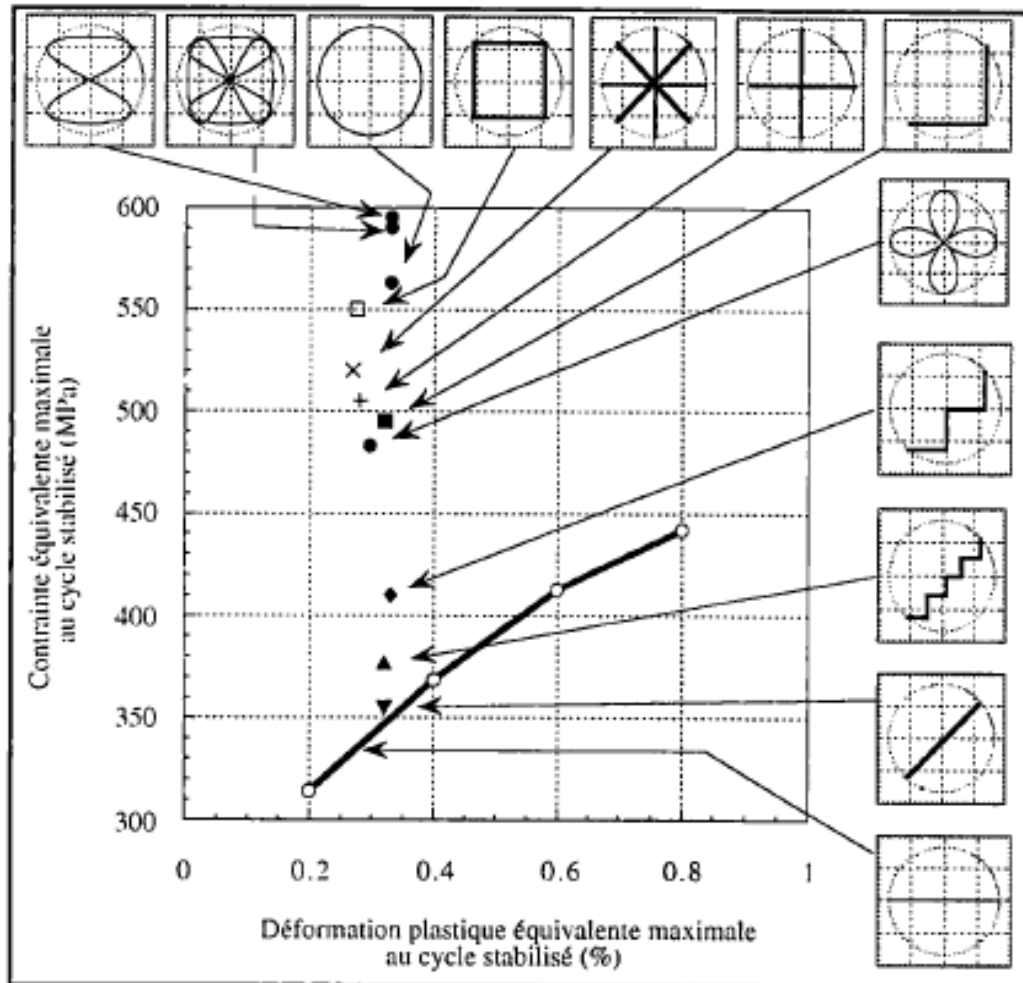
Donc on peut distinguer deux types de chargements multiaxiaux : les chargements proportionnels et les autres. Au cours des chargements proportionnels, le tenseur de la grandeur pilotée reste proportionnel à lui-même pendant l'essai. Les trajets de chargement proportionnels sont caractérisés par une droite passant par l'origine dans l'espace de pilotage. Au contraire, un trajet non-proportionnel est quelconque dans l'espace de pilotage.

### II-5.3 Influence de la forme du trajet de chargement

De nombreuses études ont été menées afin de quantifier l'influence de différents trajets de chargement et de classer ces trajets vis-à-vis du durcissement supplémentaire sous sollicitations de traction-torsion essentiellement, Cette influence est mise en évidence en comparant la contrainte équivalente maximale sur le cycle stabilisé pour deux trajets de chargement à déformation plastique équivalente maximale égale, plus la contrainte équivalente maximale est grande, plus le trajet est durcissant.

Autrement dit, pour une même contrainte équivalente maximale, le trajet le plus durcissant est celui pour lequel la déformation plastique équivalente est la plus faible. On constate que les divers trajets de chargement induisent des durcissements différents,

il est alors possible de classer ces trajets en fonction de leur caractère durcissant (Figure II-10).



**Figure II-10 : Classification de différents trajets de chargement par rapport au durcissement pour un acier 316L**

Des trajets de chargement très variés ont été testés. Les formes de trajet de chargement appartiennent à différentes familles : les trajets proportionnels, les trajets basés sur des évolutions temporelles sinusoïdales des variables comme le cercle, les trajets construits à partir de portions de droites, tels les trajets en forme d'escalier, d'étoile, de carré. L'ordre des trajets de chargement, vis-à-vis du durcissement supplémentaire diffère suivant les matériaux. Alors que, parmi les trajets testés, c'est le trajet sablier qui semble apporter un écrouissage maximal pour l'acier inoxydable austénitique 316L (CFC) et l'alliage base nickel waspaloy (CFC), pour le titane biphasé de structure HC/CC, l'essai en étoile à 12 branches, testé aussi sur l'acier inoxydable austénitique, semble le plus écrouissant.



Plusieurs auteurs ont effectué des essais permettant de piloter indépendamment un plus grand nombre de termes du tenseur des contraintes. Ces essais ont permis de montrer que le durcissement supplémentaire dépend des directions de sollicitation mises en jeu et de leur nombre [7].

# **CHAPITRE III**

## ***Lois de comportement***

*III.1 FORMULATION DES LOIS DE COMPORTEMENT*

*III.2 LOIS A ECROUISSAGE ISOTROPE*

*III.3 LOIS A ECROUISSAGE CINEMATIQUE*

### III.1 FORMULATION DES LOIS DE COMPORTEMENT

Sur la base de mécanismes de déformation plastique bien identifiés et d'informations issues de la métallurgie physique, l'établissement d'une loi de comportement élastoplastique du monocristal est relativement simple et directe. Pour un élément de volume poly cristallin qui constitue un système fortement hétérogène une telle démarche directe est en revanche impossible [4].

#### III.1.1 Hypothèse de partition

La partition des déformations en déformation élastique et déformation plastique, est justifiée par la nature des phénomènes physiques. Cette hypothèse n'est pas strictement nécessaire à la formulation des lois de plasticité, puisque les théories héréditaires fondées sur la thermodynamique des processus à mémoire, ne l'utilisent pas mais elle simplifie beaucoup les problèmes d'identification expérimentale et des calculs numériques [8].

#### III.1.2 Choix des variables thermodynamiques

Les variables d'état ou variables indépendantes, sont les variables observables telles que la déformation totale  $\varepsilon$  et la température  $T$  et les variables internes  $\varepsilon^p$  et  $v_k$ .

L'hypothèse de partition permet d'écrire les variables thermodynamiques associées à  $\varepsilon^e$  et  $T$ , respectivement le tenseur des contraintes et l'entropie spécifique, sous la forme:

$$\sigma = \rho \frac{\partial \psi}{\partial \varepsilon^e} \quad , S = - \frac{\partial \psi}{\partial T} \quad (\text{III-1})$$

Où  $\rho$  est la masse volumique et  $\psi$  l'énergie libre spécifique, dépendant des variables observables et des variables internes.

$$\psi = \psi(\varepsilon - \varepsilon^e, T, v_k) = \psi(\varepsilon^e, T, v_k) \quad (\text{III-2})$$

Les variables internes  $v_k$  de nature scalaire ou tensorielle représentent l'état actuel de la matière, c'est-à-dire l'état d'écrouissage. On utilise classiquement une variable scalaire (variable d'écrouissage isotrope)

- Soit la déformation plastique cumulée;
- Soit le travail plastique dissipé;

Et une ou plusieurs variables tensorielles ou variables d'écrouissage cinématique. Dans ce qui suit nous employons qu'une seule variable cinématique, notée  $\alpha$ .

Très schématiquement, les variables scalaires sont associées à l'état actuel de la densité de dislocation tandis que les variables cinématiques correspondent aux incompatibilités des déformations plastiques au sein du poly cristal.

Le découplage entre comportement élastique et écrouissage, impose d'écrire l'énergie libre sous la forme:

$$\psi = \psi_e(\varepsilon^e, T) + \psi_p(p, T, \alpha) \quad (\text{III-3})$$

Les variables forces thermodynamiques associées s'en déduisent par:

$$R = \rho \frac{\partial \psi}{\partial p}, \quad X = \rho \frac{\partial \psi}{\partial \alpha} \quad (\text{III-4})$$

### III.2 LOIS A ECROUISSAGE ISOTROPE

Ce sont celles dans lesquelles l'évolution de la surface de charge est gouvernée par une seule variable scalaire, soit le travail plastique dissipé, soit la déformation plastique Cumulée  $p$ , soit toute variable associée, telle que la force thermodynamique.

Pour simplifier l'écriture, ces lois sont développées en supposant la température constante ou tout au moins en utilisant des critères indépendants de la température. La fonction de charge est donc en fonction de  $\sigma$  et  $R$ .

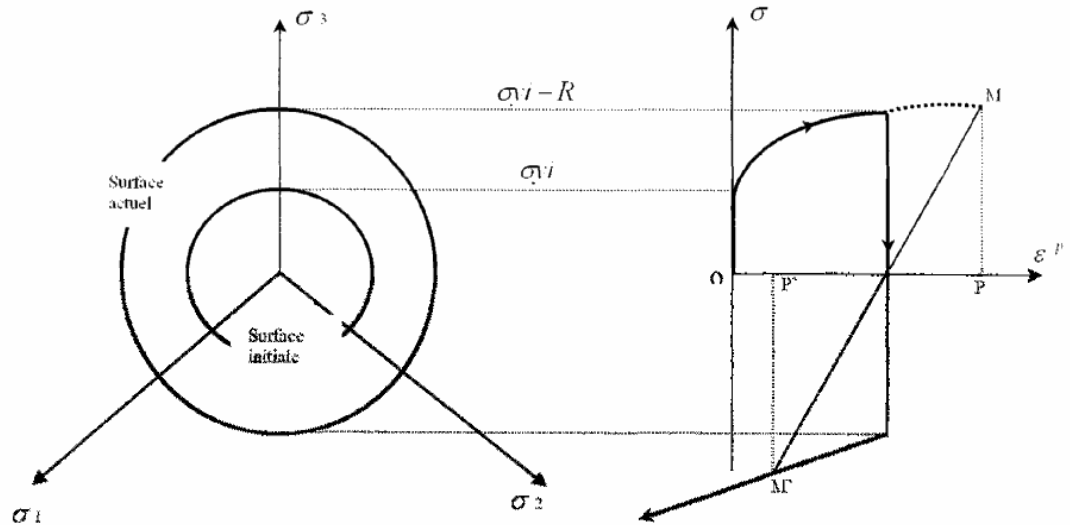
$$f = f(\sigma, R) \quad (\text{III-5})$$

L'hypothèse d'isotropie de l'écrouissage facilite grandement l'écriture des lois. Soit que l'on utilise la déformation plastique cumulée ou le travail plastique cumulé, il est facile d'identifier le modèle d'écrouissage. Les seules différences porteront soit sur le critère choisi pour la fonction de charge, soit sur l'expression de la dissipation. La fonction de charge s'exprime alors sous la forme:

$$f = f_y(\sigma) - \Gamma(R) \quad (\text{III-6})$$

Où la fonction  $f_y$  indique la forme du critère de limite d'élasticité et la fonction  $\Gamma$  introduit l'écrouissage.

L'écrouissage isotrope correspond a une dilatation simple du critère initiale. La figure III-1 indique schématiquement l'évolution du critère dans l'espace des contraintes et la courbe contraintes déformations plastiques en traction /compression.



**Figure III. 1- Ecouissage isotrope représentation dans l'espace des contraintes en traction / compression**

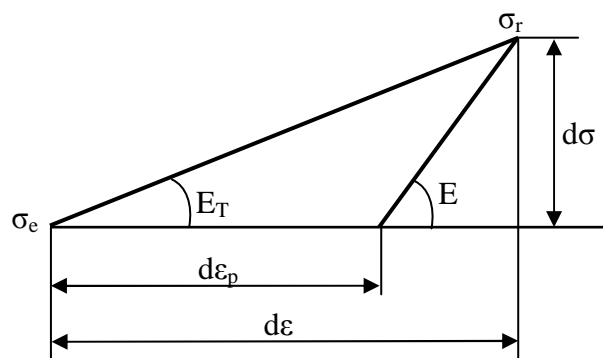
Cette figure montre aussi, pourquoi la déformation plastique cumulée peut être employée comme variable de l'écrouissage isotrope: les points  $M$  et  $M'$  ont le même état et la même déformation plastique cumulée  $OI + IF = OI + IP$

### III.2.1 Lois a écouissage isotrope linéaire

Cette loi est facilement déterminée en utilisant un modèle linéaire caractérisé par:

- $\sigma_{yi}$  ( $\sigma_{yield}$ ): la limite d'élasticité initiale
- $E$ : module d'élasticité;
- $E_T$ : module tangent.

Soit un incrément de charge  $d\sigma$ , prit à partir d'un état situé sur la frontière du domaine d'élasticité (Figure III.2).



**Figure III.2- Incrément de charge**

Nous avons :  $d\sigma = E_T . d\varepsilon$

Or  $d\varepsilon = d\varepsilon^e + d\varepsilon^p$  et  $d\varepsilon = \frac{d\sigma}{E}$

Nous avons : Donc  $d\varepsilon = d\varepsilon^p + \frac{d\sigma}{E}$

$\Rightarrow d\sigma \left( 1 - \frac{E_T}{E} \right) = E_T . d\varepsilon^p$

D'ou :  $d\sigma = C_i . d\varepsilon^p$

Avec.  $C_i$  constante isotrope, égale a :  $\frac{E_T}{1 - \frac{E_T}{E}}$

$C_i$  est appelée aussi module d'écrouissage, elle est représenté par le symbole H

et est égale à :  $H = \frac{E . E_T}{E - E_T}$

On choisit une fonction de charge de *VON MISES*, sous la forme:

$$f = \sigma_{eq} - R - \sigma_y i \quad (\text{III-7})$$

La loi de comportement, qui est en fait la courbe d'écrouissage, s'exprime alors par la relation :

$$d\varepsilon^p = \frac{d\sigma}{C_i} \quad (\text{III-8})$$

### III.2.2 Loi a écrouissage isotrope non linéaire

C'est une loi d'écoulement en régime élastoplastique a écrouissage isotrope, où l'écoulement plastique est non linéaire. Le domaine plastique n'est plus représenté par une droite mais par une courbe de pente décroissante. On choisit toujours la fonction de charge de *VON MISES* exprimé par la relation :

$$f = \sigma_{eq} - R - \sigma_y i = 0 \quad (\text{III-9})$$

Sachant que lorsque:

$f < 0 \rightarrow$  le comportement est purement élastique;

$f = 0$  Et  $df = 0 \rightarrow$  On a un écoulement plastique;

$f = 0$  Et  $df < 0 \rightarrow$  On a une décharge élastique.

En fait, la courbe d'écrouissage suit la relation:

$$R = k(p) = \rho \frac{\partial \psi}{\partial p}$$

Avec :  $R(0) = k(0) = 0$

On retrouve la définition de la déformation plastique cumulée lorsqu'il y a écoulement ( $df=0$  lorsque  $f=0$ ). Cette condition donne:

$$df = d\sigma_{eq} - k'(p)dp \quad (\text{III-10})$$

$$\text{Avec : } k'(p) = \frac{dk(p)}{dp} \quad \text{et} \quad dR = k'(p)dp$$

L'expression d'érouissage en traction simple donne la signification des variables  $R$  et  $p$ . En fait, sachant que:

$$d\varepsilon^p = g'(\sigma)d\sigma$$

Où la fonction  $g'(\sigma)^{-1}$  joue le rôle du module tangent de la courbe d'érouissage. On retrouve bien la signification de la variable  $R$ :

$$R = k(p) = \int_0^{\varepsilon} k'(\varepsilon^p) d\varepsilon^p = \int_{\sigma_{yi}}^{\sigma} \frac{1}{g'(\sigma)} d\varepsilon^p(\sigma) = \int_{\sigma_{yi}}^{\sigma} d\sigma \quad (\text{III-11})$$

Soit donc:  $R = \sigma - \sigma_{yi}$ , cohérente avec l'expression de la fonction de charge en traction simple.

L'évolution de  $R$  en fonction de  $p$  rend compte d'un érouissage progressif. Pour les effets cycliques, cette évolution est lente et peut se faire d'une façon croissante (durcissement cyclique) ou décroissante (adoucissement). L'évolution de  $R$  peut être avantageusement particularisée au moyen de l'équation suivante:

$$dR = b(Q - R) dp \quad (\text{III-12})$$

Où  $b$  et  $Q$  désignent deux constantes ( $Q$  donne la valeur asymptotique qui correspond au régime cyclique stabilisé et  $b$  indique la rapidité de la stabilisation).

L'intégration de cette relation et l'application du critère donne à chaque cycle unidimensionnel:

$$\sigma - \sigma_{yi} = Q[1 - \exp(-bp)] \quad (\text{III-13})$$

Les relations précédentes nous donnent :  $dp = \frac{d\sigma}{k'(p)}$

La déformation plastique s'écrit donc :  $d\varepsilon^p = \frac{d\sigma}{\frac{dR}{dp}}$

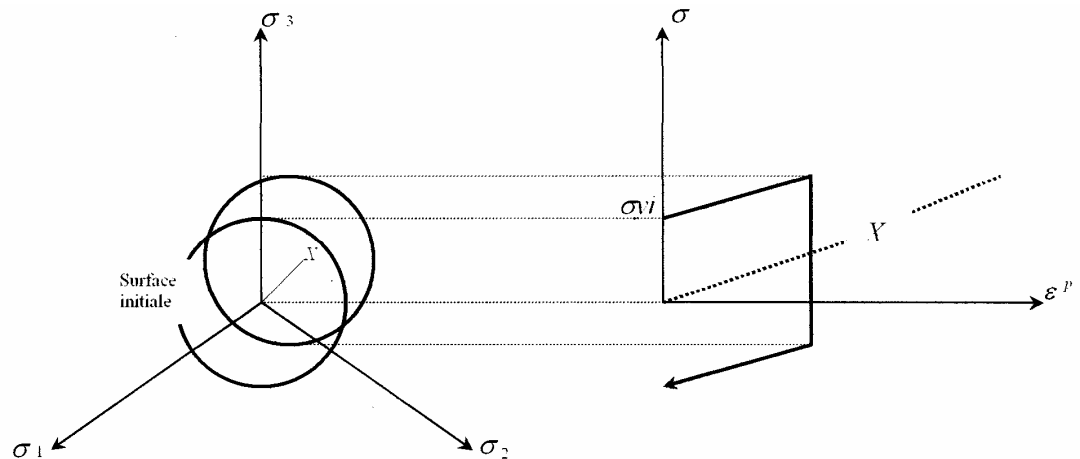
Avec :  $R = \sigma - \sigma_{yi} = Q[1 - \exp(-bp)]$

### III.3 LOIS A ECROUISSAGE CINEMATIQUE

L'écroissage cinématique correspond à la translation de la surface de charge ou la variable  $X$  de nature tensorielle, indique la position actuelle de la surface de charge:

$$f = f_y(\sigma - X) - \sigma y_i \quad (\text{III-14})$$

La figure III.3 montre schématiquement le mouvement de cette surface dans l'espace des contraintes et la modélisation correspondante en traction / compression dans le diagramme contraintes déformations.



**Figure III 3- Ecrouissage cinématique : représentation dans l'espace des contraintes en traction / compression**

L'identification se fait à partir de la traction simple. La matrice des déformations plastiques s'écrit de façon habituelle, tandis que, par homogénéité avec le déviateur des contraintes, on note la matrice des contraintes internes sous la forme:

$$[X] = \begin{bmatrix} \frac{2}{3}X & 0 & 0 \\ 0 & -\frac{1}{3}X & 0 \\ 0 & 0 & -\frac{1}{3}X \end{bmatrix}$$

#### III.3.1 Loi à écroissage cinématique linéaire (loi de PRAGER)

Si la surface de charge est décrite par le critère de *VON MISES*, la fonction  $f_y$  ne dépend que du second invariant  $J_2(\sigma - X)$ . Le critère et les équations d'écoulement se mettent sous la forme:

$$f = |\sigma - X| - k = 0 \quad (\text{III-15})$$



$$d\varepsilon_{11}^p = d\varepsilon^p = \frac{1}{H} d\sigma$$

La loi d'érouissage cinématique s'explique sous la forme:

$$dX = \frac{2}{3} H . d\varepsilon^p \quad (\text{III-16})$$

Le module d'érouissage étant constant et est égal a:

$$H = \frac{3}{2} C_c$$

Où:  $C_c$  est la constante cinématique.

La loi s'écrit donc sous la forme :

$$d\varepsilon^p = \frac{2}{3} \frac{d\sigma}{C_c} \quad (\text{III-17})$$

### III.3.2 Loi a érouissage cinématique non linéaire (modèle d'AMSTRONG et FREDERICK)

Le critère de plasticité s'exprime toujours sous la forme:

$$f = J_2(\sigma - X) - \sigma y_i \quad (\text{III-18})$$

L'inconvénient de la loi de PRAGER (proportionnalité entre  $d\varepsilon^p$  et  $dX$ ) est levé par un terme de rappel introduisant un effet de mémoire évanescence du trajet de déformation:

$$dX = \frac{2}{3} C . d\varepsilon^p - \gamma X . dp. \quad (\text{III-19})$$

Où  $dp$  est l'incrément de déformation cumulée,  $C$  et  $\gamma$  étant des coefficients caractéristiques de chaque matériau.

On suppose généralement que le tenseur  $X$  est nul dans l'état initial. Le module d'érouissage dépend dans ce cas de la contrainte cinématique. Il s'exprime par la relation:

$$H = C - \gamma . X . \text{sgn}(\sigma - X) \quad (\text{III-20})$$

Il est clair que lorsque l'érouissage est cinématique le module d'érouissage diminue. L'équation d'évolution de l'érouissage peut s'écrire alors:

$$d\varepsilon^p = \frac{d\sigma}{H} = \frac{d\sigma}{C - \gamma(p)X(p)\text{sgn}(\sigma - X)} \quad (\text{III-21})$$

Avec le choix de la fonction  $\gamma(p)$  comme constante.

En fait lorsque  $p$  tend vers  $+\infty$  :  $\gamma(p) = \gamma_\infty + (\gamma_0 - \gamma_\infty)e^{-bp} = \gamma_\infty$

### III.3.3 Loi a écrouissage isotrope et cinématique non linéaire (modèle de CHABOCHE)

Cette loi s'agit de la superposition d'un écrouissage isotrope a l'écrouissage cinématique non linéaire. Le domaine d'élasticité se modifie alors par translation et par dilatation. Les variables d'états employées pour décrire cet écrouissage sont celles représentant la variation de dimension du domaine d'élasticité qui sont la déformation plastique cumulée et la force thermodynamique associée  $R$ .

Cet écrouissage s'exprime par:

$$f = J_2(\sigma - X) - R - \sigma_i \quad (\text{III-22})$$

L'évolution de  $R$  peut être avantageuse au moyen d'une équation similaire pour l'écrouissage isotrope:

$$dR = b(Q - R) dp \quad (\text{III-23})$$

L'écrouissage isotrope en tant qu'effet de durcissement cyclique peut aussi se traduire sur la variable cinématique en introduisant des fonctions de la déformation plastique cumulée:

$$dX = \frac{2}{3} C.(p)d\varepsilon^p - \gamma(p)X.dp. \quad (\text{III-24})$$

Où la fonction  $\gamma(p)$  traduit le durcissement cyclique.

Ce dernier peut être traduit par une fonction  $C(p)$  croissante ou une fonction  $\gamma(p)$  décroissante. On choisit  $C$  constante et  $\gamma(p)$  décroissante exponentiellement.

$$\gamma(p) = \gamma_\infty + (\gamma_0 - \gamma_\infty)e^{-pb} \quad (\text{III-25})$$

L'ensemble des équations du modèle superposant écrouissage isotrope et écrouissage cinématique s'écrit, pour un matériau obéissant au critère de *VON-MISES*:

$$d\varepsilon^p = \frac{d\sigma}{b[Q - R(p)] + C - \gamma(p)X(p) \operatorname{sgn}(\sigma - X)} \quad (\text{III-26})$$

# **CHAPITRE IV.**

## ***Identification des différents paramètres des modèles cycliques***

*IV.1 MODELE A ECROUISSAGE ISOTROPE LINEAIRE*

*IV.2 MODELE A ECROUISSAGE ISOTROPE NON LINEAIRE*

*IV.3 MODELE DE PRAGER*

*IV.4 MODEL D' AMSTRONG ET FREDERICK*

*IV.5 MODELE DE CHABOCHE*

Aujourd'hui, la conception et la réalisation de produits techniques complexes (automobiles, trains, avions, systèmes de production, machines, etc.), ou plus simples (par exemple, les composants de sécurité de ces produits complexes) nécessite une grande maîtrise des outils de caractérisation, de simulation et de modélisation des comportements des matériaux afin de pouvoir garantir leurs propriétés d'usage dès la conception. Dans ce chapitre nous déterminons les différents paramètres des modes cycliques a partir du premier cycle de chaque modèle. Le matériau utilisé est Hastelloy C 2000 (Ni + Cr + Mo) c'est un d'alliages a hautes performances inoxydable utilisé pour plusieurs domaine industriel.

#### IV.1 MODELE A ECROUISSAGE ISOTROPE LINEAIRE

Pour obtenir ce type de comportement a partir des résultats expérimentaux, il suffirait de tracer les tangentes a la courbe du 1<sup>ère</sup> cycle en  $\varepsilon = 0$  et en  $\varepsilon = 0.005$ .

Les données utilisées pour la simulation sont:

- **Fichier matériau**
  - Module de Young  $E=206000$  MPa.
  - Coefficient de Poisson 0.3
  - Les paramètres identifiés du modèle :

$$R_0 = 120.$$

$$Q = 0.$$

$$b = 0.$$

La courbe du 1<sup>er</sup> cycle aura l'allure suivante

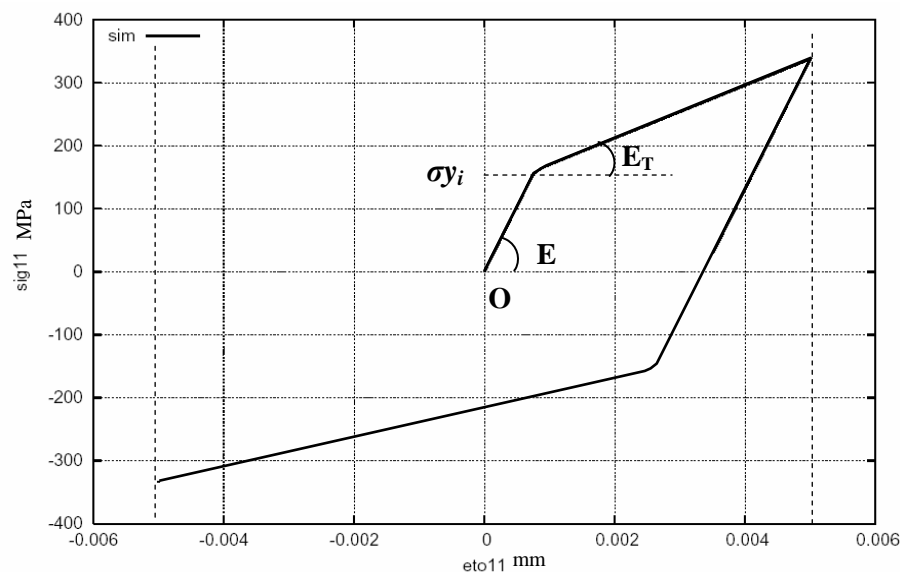


Figure IV.1- Ecrouissage isotrope linéaire

La déformation plastique suit la loi de comportement:

$$d\varepsilon = \frac{d\sigma}{C_i} \quad (\text{IV-1})$$

On doit identifier expérimentalement deux paramètres:

- La taille initiale du domaine élastique  $\sigma_{y1}$
- La constante  $C_i = H$ .

Ou H est le module d'écroutissage qui est égale a :

$$H = \frac{E \cdot E_T}{E - E_T} \quad (\text{IV-2})$$

$E$ : étant le module d'élasticité (module de YOUNG);

$E_T$ : étant le module de plasticité (module tangent).

- **Identification de  $\sigma_{y1}$**

Sur le graphe, on lit directement l'ordonnée du point au maximum de la déformation, dans le domaine élastique du 1<sup>er</sup> cycle (point A), on aura:  $\sigma_{y1} = \quad \text{MPa}$

- **Identification de  $E$**

En élasticité on a:  $\sigma = \varepsilon \cdot E$ .

$E$  est identifié en calculant la pente de la portion de droite en d'élasticité a partir de deux points : "O" et "A" :

$$\text{point "O"} \begin{cases} \varepsilon \cdot 10^{-3} = 0 \text{ mm} \\ \sigma = 0 \text{ MPa} \end{cases} \quad \text{point "A"} \begin{cases} \varepsilon \cdot 10^{-3} = 0.00075 \text{ mm} \\ \sigma = 155 \text{ MPa} \end{cases}$$

$$E = \frac{155 - 0}{75 \cdot 10^{-5} - 0} = 2.06 \cdot 10^5 \text{ MPa}$$

- **Identification de  $E_T$**

$E_T$  est identifié en calculant la pente de la portion de droite en plasticité a partir de deux points : "A" et "B" :

$$\text{point "A"} \begin{cases} \varepsilon \cdot 10^{-3} = 0.0075 \text{ mm} \\ \sigma = 155 \text{ MPa} \end{cases} \quad \text{point "B"} \begin{cases} \varepsilon \cdot 10^{-3} = 0.005 \text{ mm} \\ \sigma = 345 \text{ MPa} \end{cases}$$

$$E_T = \frac{345 - 155}{0.005 - 0.00075} = 44706 \text{ MPa}$$

- **Calcul de  $C_i$ :**

$$C_i = \frac{E \cdot E_T}{E - E_T} = \frac{206000 \cdot 44706}{206000 - 44706} = 57097 \text{ MPa}$$

## IV.2 MODELE A ECROUISSAGE ISOTROPE NON LINEAIRE

Pour obtenir ce type de comportement a partir des résultats expérimentaux, il suffirait de tracer les tangentes a la courbe du 1<sup>ère</sup> cycle en  $\varepsilon = 0$  et en  $\varepsilon = 0.005$ .

Les données utilisées pour la simulation sont:

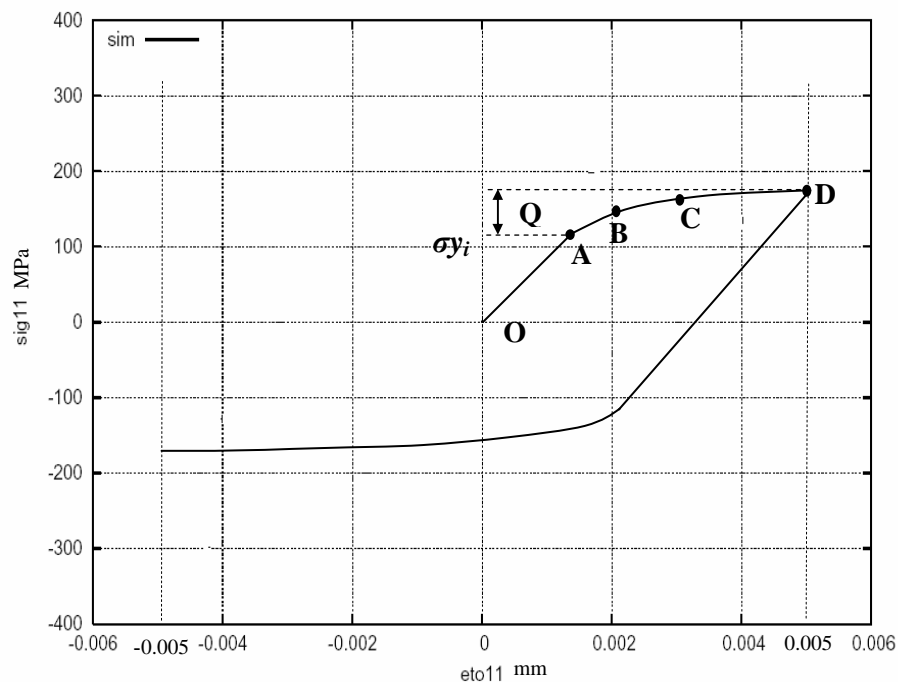
- **Fichier matériau**
  - Module de Young  $E=206000$  MPa.
  - Coefficient de Poisson 0.3
  - Les paramètres identifiés du modèle :

$$R_0 = 160.$$

$$Q = 45.$$

$$b = 29.$$

La courbe du 1<sup>er</sup> cycle aura l'allure suivante



**Figure IV.2- Ecrouissage isotrope non linéaire ‘ PRAGER’**

La déformation plastique suit la loi de comportement:

$$d\varepsilon^p = \frac{d\sigma}{\frac{dR(p)}{dp}} \quad (\text{IV-3})$$

$$\text{Avec: } \sigma = \sigma_y + R(p) \quad (\text{IV-4})$$

Les paramètres à identifier expérimentalement sont:

- La taille du domaine élastique  $\sigma_y$ .
- Variable de mémoire de l'écrouissage  $Q$ .
- La fonction  $R(p)$  qui traduit la variation non linéaire de la taille du domaine élastique:

$$R(p) = \sigma - \sigma_y = Q(1 - e^{-bp}) \quad (\text{IV-5})$$

- **Identification de  $\sigma_y$ .**

Sur le graphe, on lit directement l'ordonnée du point au maximum de la déformation, dans le domaine élastique du 1<sup>er</sup> cycle (point A), on aura:  $\sigma_y = 120$  MPa

- **Identification de  $Q$**

$$\text{On a: } \sigma - \sigma_y = Q(1 - e^{-bp})$$

Lorsque  $\varepsilon^e$  tend vers  $+\infty$ ,  $P$  tend vers  $+\infty$  et  $\sigma - \sigma_y$  tend vers  $Q$ .

En traçant l'asymptote horizontale à la courbe du cycle stabilisé en  $\varepsilon = 0.005$  (en a  $\sigma = 165$  MPa), on peut mesurer  $Q$ :

$$Q = 170 - 125 = 45 \text{ MPa}$$

- **Identification de  $b$**

$b$ : Constante indiquant la rapidité de la stabilisation.

Lorsque  $d\varepsilon^p \geq 0$  on a:  $p = \varepsilon^p$

$$\varepsilon = \varepsilon^e + \varepsilon^p = \frac{\sigma}{E} + \varepsilon^p \quad (\text{IV-6})$$

$$\text{Donc : } \sigma - \sigma_{yi} = Q(1 - e^{-bp}) = Q \left( 1 - e^{-b \left( \varepsilon - \frac{\sigma}{E} \right)} \right)$$

$$\Rightarrow 1 - \frac{\sigma - \sigma_{yi}}{Q} = e^{-b \left( \varepsilon - \frac{\sigma}{E} \right)}$$

$$\Rightarrow \ln \left( 1 - \frac{\sigma - \sigma_{yi}}{Q} \right) = \left( \varepsilon - \frac{\sigma}{E} \right)$$

$$\Rightarrow b = - \frac{\ln \left( 1 - \frac{\sigma - \sigma_{yi}}{Q} \right)}{\varepsilon - \frac{\sigma}{E}}$$

Les couples de coordonnées des points C, D, E sur la courbe du premier cycle, nous donnent les valeurs de  $\varepsilon$ ,  $\sigma$  et  $b$

$$\begin{array}{ccc} \text{point "B"} \left\{ \begin{array}{l} \varepsilon \cdot 10^{-3} = 2 \text{ mm} \\ \sigma = 150 \text{ MPa} \\ b = 23.61 \end{array} \right. & \text{point "C"} \left\{ \begin{array}{l} \varepsilon \cdot 10^{-3} = 3 \text{ mm} \\ \sigma = 165 \text{ MPa} \\ b = 30.53 \end{array} \right. & \text{point "D"} \left\{ \begin{array}{l} \varepsilon \cdot 10^{-3} = 5 \text{ mm} \\ \sigma = 170 \text{ MPa} \\ b = 33.45 \end{array} \right. \end{array}$$

La valeur moyenne de  $b$  est:  $\bar{b} = 29.19 \approx 29$

La fonction  $R(p)$  s'écrit alors:

$$R(p) = 45 \cdot 10^6 (1 - e^{-29p})$$

### IV.3 MODELE DE PRAGER

Puisque le modèle de PRAGER décrit un écrouissage cinématique linéaire, le centre du domaine élastique varie et la courbe sera (Figure IV.3).

- **Fichier matériau**
  - Module de Young  $E = 206000$  MPa.
  - Coefficient de Poisson 0.3
  - Les paramètres identifiés du modèle :

$$R_0 = 0.$$

$$Q = 0.$$

$$b = 0.$$

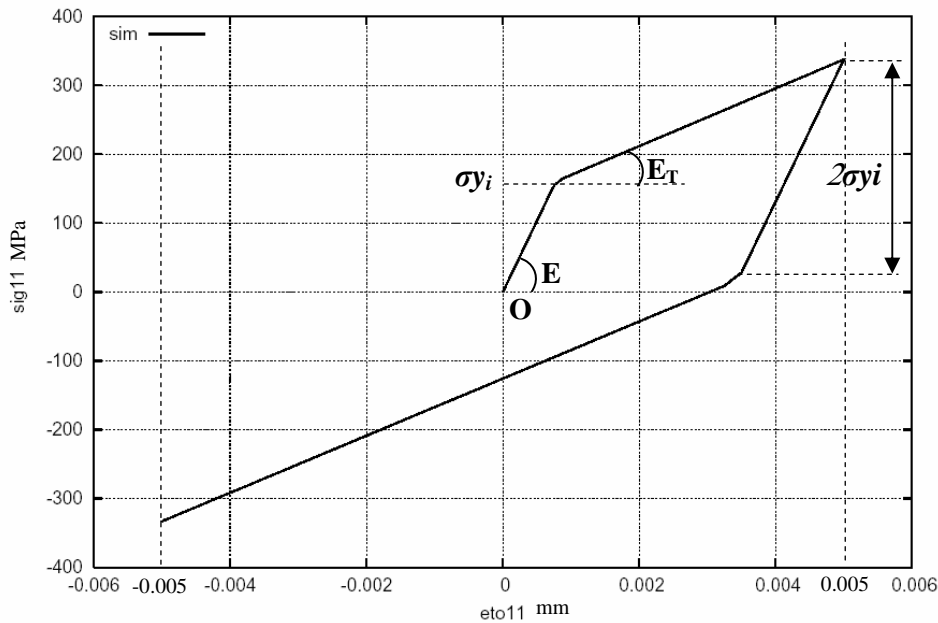


$$C = 51200$$

$$D = 0$$

- $C$ : module d'écrouissage.
- $D$ : constante utilisée par le logiciel, dépend de la nature de matériaux.

La courbe du 1<sup>er</sup> cycle aura l'allure suivante:



**Figure IV.3- Modèle à écrouissage cinématique linéaire de PRAGER**

La déformation plastique suit la loi de comportement suivante:

$$d\varepsilon^p = \frac{2}{3} \frac{d\sigma}{C_c} \quad (\text{IV-7})$$

Les paramètres à identifier sont:

- La taille du domaine élastique  $\sigma_{yi}$
- La constante  $C_c$  (constante cinématique)  $C_c = \frac{2}{3} H$ , ou  $H$  est le module d'écrouissage.
- **Identification de  $\sigma_{yi}$**

$\sigma_{yi}$  s'identifie toujours en procédant de la même manière que pour l'écrouissage isotrope linéaire et on aura:  $\sigma_{yi} = 155 \text{ MPa}$

- *Calcul de  $C_c$ :*

$E$  et  $E_T$  auront les mêmes valeurs que celles de l'écroutissage isotrope donc:

$$C_c = \frac{2}{3} \cdot \frac{E \cdot E_T}{E - E_T} = \frac{2}{3} \frac{206000 \cdot 44706}{206000 - 44706} \approx 51200 \text{ MPa}.$$

#### IV.4 MODEL D' AMSTRONG ET FREDERICK

Le centre du domaine élastique varie d'une manière non linéaire en fonction du sens du chargement et la courbe sera (Figure IV.4):

- *Fichier matériau*

- Module de Young  $E=206000$  MPa.
- Coefficient de Poisson 0.3
- Les paramètres identifiés du modèle :

$$R_0 = 160.$$

$$Q = 0.$$

$$b = 0.$$

$$C = 51200.$$

$$D = 400.$$

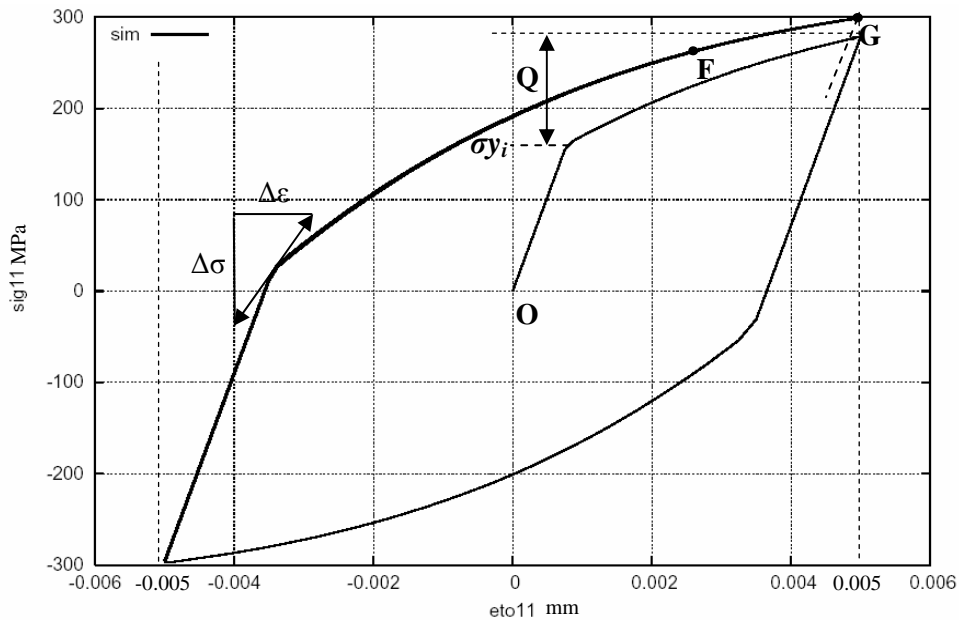


Figure IV. 4- Modèle de FREDEIC'K et AMSTRONG

La déformation plastique suit la loi de comportement suivante:

$$d\varepsilon^p = \frac{d\sigma}{C - \gamma(P).X(P).sgn(\sigma - X)} \quad (\text{IV-8})$$

Les paramètres à identifier sont:

- La taille du domaine élastique  $\sigma_{yi}$ .
- Variable de mémoire de l'écrouissage  $Q$ .
- Coefficient caractéristique du matériau  $C$ .
- La fonction  $X(p)$  qui traduit la variation non linéaire du centre du domaine élastique, telle que:  $dX = C d\varepsilon^p - \gamma(P)Xd\varepsilon^p$  (IV-9)

Supposons que la fonction  $\gamma(p)$  est constante, car lorsque  $p$  tend vers  $+\infty$  on aura:

$$\gamma(P) = \gamma_\infty + (\gamma_0 - \gamma_\infty).e^{-bp} = \gamma_\infty + (\gamma_0 - \gamma_\infty).e^{-\infty} = \gamma_\infty$$

- **Identification de  $\sigma_{yi}$**

En procédant de la même manière que pour le modèle isotrope non linéaire, la limite d'élasticité est:  $\sigma_{yi} = 160 \text{ MPa}$ .

- **Identification de  $Q$**

$$\text{On a : } \sigma - \sigma_{yi} = Q(1 - e^{-bp})$$

Lorsque  $\varepsilon^e$  tend vers  $+\infty$ ,  $P$  tend vers  $+\infty$  et  $\sigma - \sigma_{yi}$  tend vers  $Q$ .

En traçant l'asymptote horizontale à la courbe du cycle stabilisé en  $\varepsilon = 0.005$  (en a  $\sigma = 280 \text{ MPa}$ ), on peut mesurer  $Q$ :

$$Q = 280 - 160 = 120 \text{ MPa}$$

- **Identification de  $C$**

$$\text{On a : } C = \left( \frac{dX}{d\varepsilon^p} \right)_{x=0} \quad \text{c'est la constante cinématique}$$

Lorsque:  $\sigma = \sigma_{yi}$  on a  $X = 0$

La pente de la courbe de traction en  $\sigma = \sigma_i$  donne:

$$\frac{\Delta\sigma}{\Delta\varepsilon} = \frac{160}{0.0008} = 200000 \text{ MPa.}$$

Or:  $\Delta\sigma = \Delta X$  donc  $\Delta X = 200000.\Delta\varepsilon$

Mais:  $\Delta\varepsilon^p = \Delta\varepsilon - \frac{\Delta\sigma}{E}$

Donc:  $C = \frac{\Delta X}{\Delta\varepsilon^p} = \frac{200000.\Delta\varepsilon}{\Delta\varepsilon - \frac{\Delta\sigma}{E}} \approx 51200 \text{ MPa.}$

• **Identification de  $\gamma_\infty$**

On a :  $dX = C d\varepsilon^p - \gamma_\infty X dp$

Lorsque:  $d\varepsilon^p \geq 0, dp = d\varepsilon^p$

Donc:  $dX = (C - \gamma_\infty X)d\varepsilon^p$

Soit:  $\gamma_\infty = \frac{C - \frac{dX}{d\varepsilon^p}}{X}$

La pente des tangentes aux points *F* et *G*, sur la courbe du cycle stabilisé donne les valeurs de  $\varepsilon, \sigma, X, \Delta\sigma$

$\text{point "F"} \left\{ \begin{array}{l} \varepsilon.10^{-3} = 2.6 \text{ mm} \\ \sigma = 265 \text{ MPa} \\ X = 140 \text{ MPa} \\ \Delta\sigma = 60 \text{ MPa} \\ \Delta\varepsilon = 5 \\ \frac{\Delta X}{\Delta\varepsilon^p} = 18600 \text{ MPa} \\ \gamma_\infty = 655 \end{array} \right.$	$\text{point "G"} \left\{ \begin{array}{l} \varepsilon.10^{-3} = 5 \text{ mm} \\ \sigma = 300 \text{ MPa} \\ X = 160 \text{ MPa} \\ \Delta\sigma = 20 \text{ MPa} \\ \Delta\varepsilon = 5 \\ \frac{\Delta X}{\Delta\varepsilon^p} = 15700 \text{ MPa} \\ \gamma_\infty = 635 \end{array} \right.$
--	--

Donc la moyenne est  $\bar{b} = 645$

Alors la fonction  $X(p)$  s'écrira :  $dX = 51200 d\varepsilon^p - 645 X dp$

**IV.5 MODELE DE CHABOCHE**

Le centre du domaine élastique varie encore d'une manière non linéaire (Figure IV.5).

• **Fichier matériau**

➤ Module de Young  $E=206000 \text{ MPa.}$

- Coefficient de Poisson 0.3
- Les paramètres identifiés du modèle :

$$R_0 = 160.$$

$$Q = 45.$$

$$b = 29.$$

$$C = 51200.$$

$$D = 400.$$

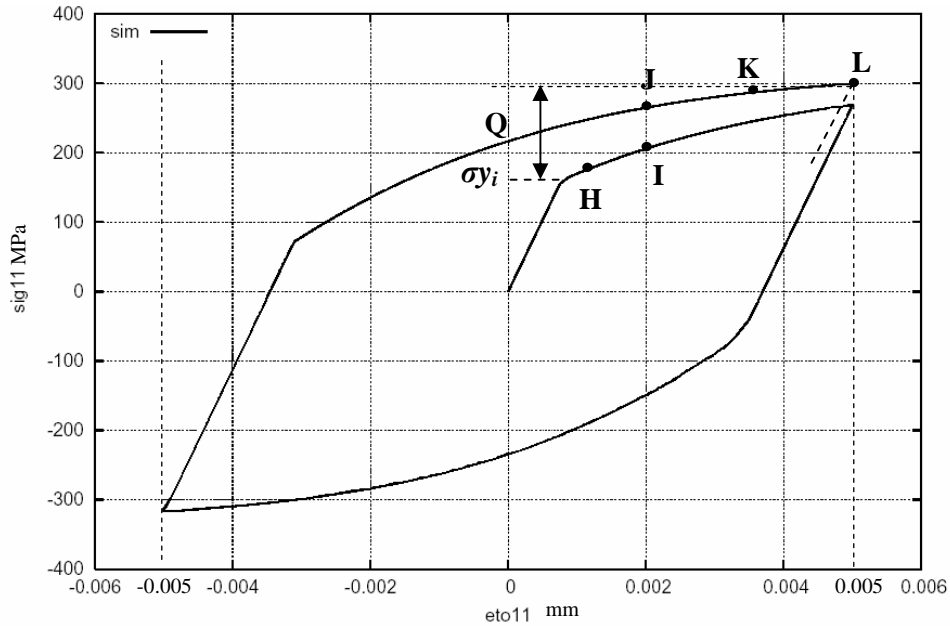


Figure IV.5- Modèle de CHABOCHE

La déformation plastique suit la loi de comportement suivante:

$$d\varepsilon^p = \frac{d\sigma}{b[Q - R(p)] + C - \gamma(P).X(P).\text{sgn}(\sigma - X)} \quad (\text{IV-10})$$

Les paramètres à identifier sont:

- La taille du domaine élastique  $\sigma_{yi}$
- Coefficient caractéristique du matériau  $C$ .
- Les constants  $b$  et  $Q$ .
- La fonction  $R(p) = \sigma - \sigma_{yi} = Q(1 - e^{-bp})$  qui traduit la variation de la taille du domaine élastique;
- La fonction  $X(p)$  qui traduit la variation non linéaire du centre du domaine élastique, telle que:  $dX = C d\varepsilon^p - \gamma(P)Xdp$
- La fonction  $\gamma(P) = \gamma_\infty + (\gamma_0 - \gamma_\infty).e^{-bp}$

- **Identification de  $\sigma_{yi}$**

En procédant de la même manière que pour le modèle isotrope non linéaire, la limite d'élasticité est:  $\sigma_{yi} = 160$  MP a.

- **Identification de  $Q$**

$$Ona : \sigma - \sigma_{yi} = Q(1 - e^{-bp})$$

Lorsque  $\varepsilon^e$  tend vers  $+\infty$ ,  $P$  tend vers  $+\infty$  et a  $\sigma - \sigma_{yi}$  tend vers  $Q$ .

En traçant l'asymptote horizontale a la courbe du cycle stabilisé en  $\varepsilon = 0.005$  (en a  $\sigma = 300$  MPa), on peut mesurer  $Q$ :

$$Q = 300 - 160 = 140 \text{ MPa}$$

En calcul  $C$  et  $\gamma_\infty$  comme le modèle précédent en trouve:  $C = 51200$  et  $\gamma_\infty = 635$ .

- **Identification de  $\gamma_0$**

On sait que lorsque:  $d\varepsilon^p \geq 0$   $dp = d\varepsilon^p$

Sur la courbe du premier cycle, au début de la plastification  $p$  tend vers 0 et

$$\gamma(P) = \gamma_\infty + (\gamma_0 - \gamma_\infty) \cdot e^0 = \gamma_0$$

$$\text{Donc : } dx = C d\varepsilon^p - \gamma_0 X dp = (C - \gamma_0 X) d\varepsilon^p \Leftrightarrow \gamma_\infty = \frac{C - \frac{dX}{d\varepsilon^p}}{X}$$

La pente des tangentes aux points  $H$  et  $I$  donne les valeurs de  $\varepsilon$ ,  $\sigma$ ,  $X$  et  $\Delta\sigma$

$$\text{point "H"} \left\{ \begin{array}{l} \varepsilon \cdot 10^{-3} = 1.6 \text{ mm} \\ \sigma = 180 \text{ MPa} \\ X = 100 \text{ MPa} \\ \Delta\sigma = 160 \text{ MPa} \\ \Delta\varepsilon = 5 \\ \frac{\Delta X}{\Delta\varepsilon^p} = 40600 \text{ MPa} \\ \gamma_0 = 745 \text{ MPa} \end{array} \right. \quad \text{point "I"} \left\{ \begin{array}{l} \varepsilon \cdot 10^{-3} = 2 \text{ mm} \\ \sigma = 205 \text{ MPa} \\ X = 110 \text{ MPa} \\ \Delta\sigma = 60 \text{ MPa} \\ \Delta\varepsilon = 5 \\ \frac{\Delta X}{\Delta\varepsilon^p} = 17400 \text{ MPa} \\ \gamma_0 = 815 \text{ MPa} \end{array} \right.$$

Nous prenons la valeur moyenne :  $\bar{\gamma}_0 = 780$

- **Identification de b**

On procède de la même manière que pour le modèle isotrope non linéaire.

$$b = - \frac{\ln\left(1 - \frac{\sigma - \sigma_{yi}}{Q}\right)}{\varepsilon - \frac{\sigma}{E}}$$

Les couples de coordonnées des points *J*, *K* et *L* nous donnent les valeurs de  $\varepsilon$ ,  $\sigma$ , et *b*.

$$\begin{array}{ccc} \text{point "J"} \left\{ \begin{array}{l} \varepsilon \cdot 10^{-3} = 2 \text{ mm} \\ \sigma = 265 \text{ MPa} \\ b = 27.61 \end{array} \right. & \text{point "K"} \left\{ \begin{array}{l} \varepsilon \cdot 10^{-3} = 3.5 \text{ mm} \\ \sigma = 290 \text{ MPa} \\ b = 30.53 \end{array} \right. & \text{point "L"} \left\{ \begin{array}{l} \varepsilon \cdot 10^{-3} = 5 \text{ mm} \\ \sigma = 300 \text{ MPa} \\ b = 30.15 \end{array} \right. \end{array}$$

La valeur moyenne de *b* est:  $\bar{b} = 29.43 \approx 29$

Les fonctions cherchées s'écrivent donc :

$$\gamma(p) = 635 \cdot 10^6 + 145 \cdot 10^6 \cdot e^{-29p}$$

$$R(p) = 140 \cdot 10^6 (1 - e^{-29p})$$

$$dX = 51200 d\varepsilon^p - [635 \cdot 10^6 + 145 \cdot 10^6 \cdot e^{-29p}] X dp.$$

# **CHAPITRE V.**

## ***Simulation et interprétation des résultats***

*V.1 RESULTATS DE SIMULATION*

*V.2 COMMENTAIRE SUR LES RESULTATS*

*V.3 TESTS SUR DES ESSAIS COMBINANT LA TRACTION ET LA  
TORSION*



Ayant identifié les différents modèles de comportement, une simulation numérique a été effectuée en utilisant chaque modèle de comportement, afin de mettre en évidence le modèle le mieux adapté qui se rapproche le plus de l'expérimental. Les coefficients et les différentes fonctions identifiées à partir de l'essai, seront injectés dans les programmes ainsi que les conditions initiales. Les résultats numériques obtenus sont alors représentés sous forme de graphe afin de pouvoir tirer les conclusions.

Dans ce chapitre on présente les résultats de la simulation des différents modèles à l'aide de Zebulon et leur comparaison avec les résultats expérimentaux. Les graphes sont obtenus à partir d'une relation contrainte-déformation et cela pour les différents types d'écroutissage à déformation imposée.

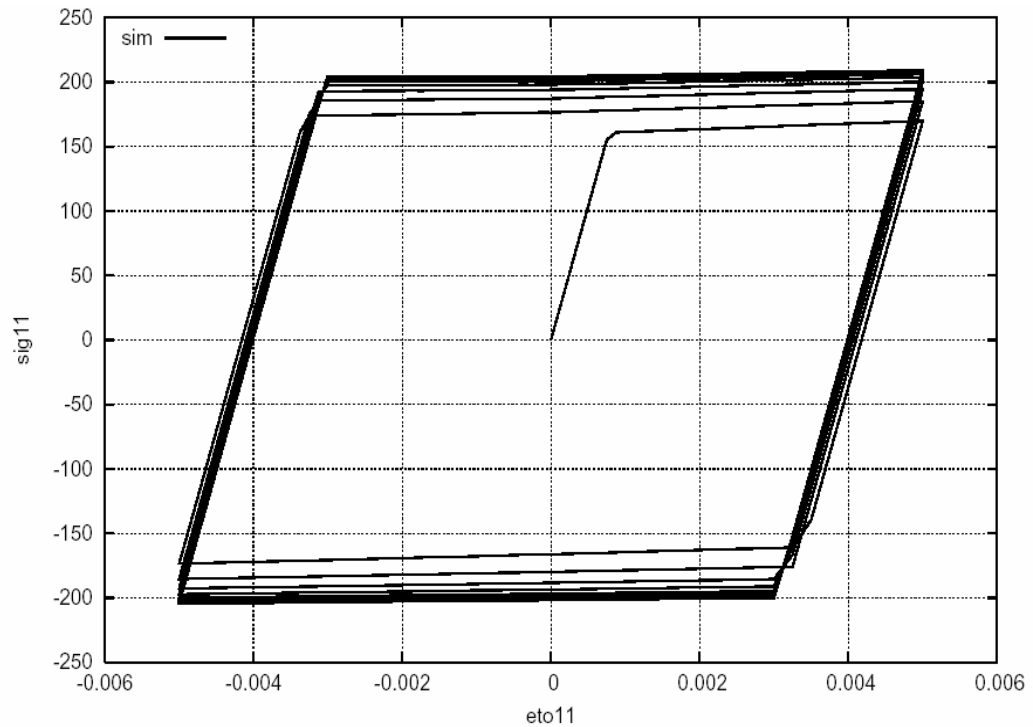
## **V.1 RESULTATS DE SIMULATION**

### **V.1.1 Modèle à écroutissage isotrope non linéaire**

Les données utilisées pour la simulation sont:

- ***Fichier matériau***
  - Module de Young  $E=206000$  MPa.
  - Coefficient de Poisson 0.3
  - Les paramètres identifiés du modèle :
    - $R_0 = 160.$
    - $Q = 45.$
    - $b = 29.$

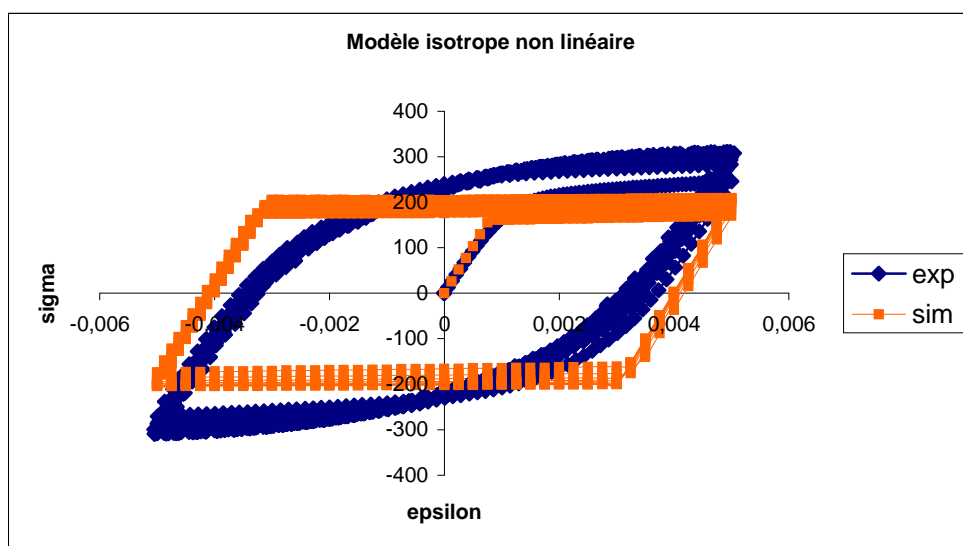
Les résultats de la simulation pour 10 cycles, obtenus sont donnés sur le graphe 1 :



**Figure V.1** Modèle isotrope non linéaire pour 10 cycles

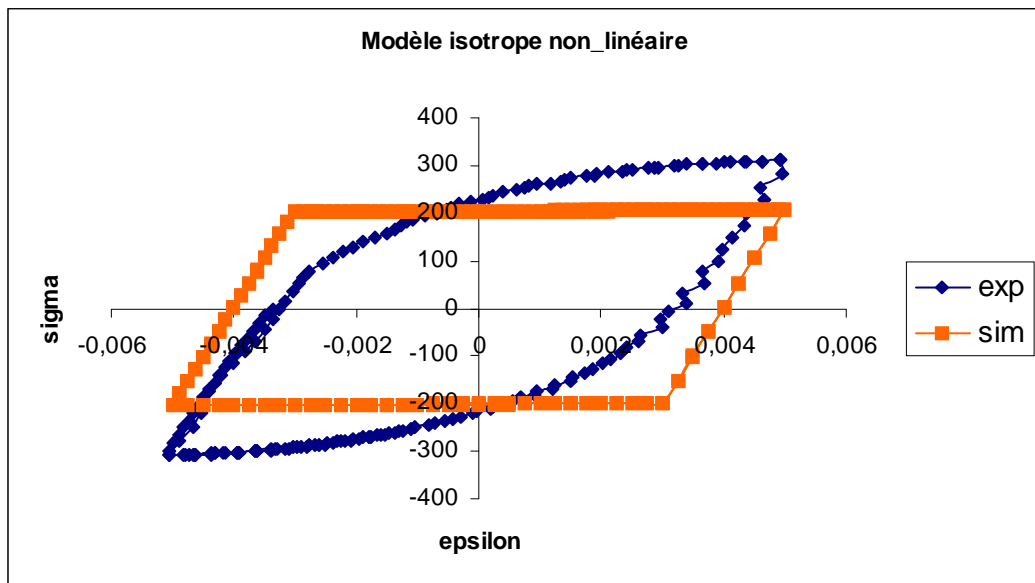
On remarque une linéarité des deux parties élastique et plastique. La valeur maximale de la contrainte dépasse légèrement 200 MPa.

Sur la figure (VI.2), on représente les résultats obtenus par simulation avec ceux obtenus expérimentalement.



**Figure V.2-** Superposition du graphe théorique et expérimentale pour le modèle isotrope non linéaire

La superposition du cycle stabilisé est donnée sur la figure (VI.3) :



*Figure V.3- Superposition du graphe théorique et expérimentale pour le cycle stabilisée pour le modèle isotrope non linéaire*

On remarque un décalage très apparent entre la courbe expérimentale et celle calculée. Ce modèle ne donne pas une meilleure représentation du comportement réel du matériau.

Le défaut du problème apparaît effectivement mais l'écart peut être fortement réduit par une meilleure identification des paramètres.

Dans le graphe 2, la phase de chargement et celle de déchargement se composent d'une parcelle linéaire et d'une autre non linéaire. La partie d'élasticité varie toujours suivant une loi linéaire (loi de Hooke), tandis que la non linéarité de la parcelle plastique provient de sa variation suivant une fonction exponentielle.

### V.1.2 Modèle de PRAGER

Le modèle de PRAGER décrit un écrouissage cinématique linéaire, le centre du domaine élastique varie et la courbe sera (Figure V.4).

- *Fichier matériau*
  - Module de Young  $E=206000$  MPa.
  - Coefficient de Poisson 0.3
  - Les paramètres identifiés du modèle :

$$R_0 = 0.$$

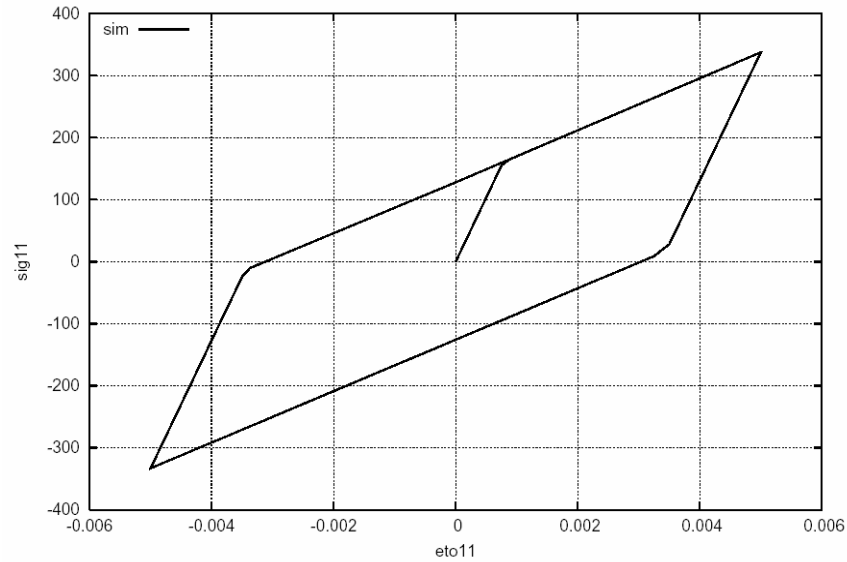
$$Q = 0.$$

$$b = 0.$$

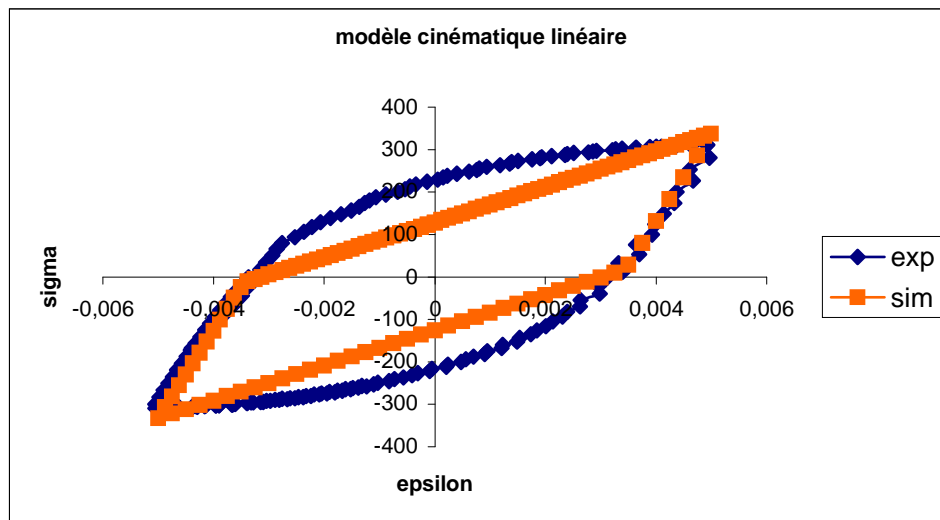
$$C = 51200$$

$$D = 0$$

La simulation du modèle donne la courbe suivante :



La La **Figure V.4- Modèle isotrope linéaire ‘PRAGER’ pour 10 cycles**  
 La superposition du cycle stabilisé simulé avec le cycle stabilisé expérimental est représentée sur la Figure (V.5).



**Figure V.5- Superposition du graphe théorique et expérimentale pour le cycle stabilisée pour le modèle isotrope linéaire**

On remarque une amélioration par rapport au modèle précédent. Le modèle cinématique semble mieux représentatif du comportement réel. On retrouve un résultat classique.

La contrainte varie linéairement avec la déformation plastique. De plus dans ce cas, la limite d'élasticité est décentrée et le domaine élastique reste de dimension constante.

La variation de la contrainte en fonction de la déformation suit une loi linéaire que ce soit pour le cas de chargement ou celui de déchargement. La parcelle élastique est toujours de pente égale au module de Young, celle de la plasticité est de pente égale au module tangent.

Ce graphe représente un modèle cinématique, il diffère du modèle cinématique linéaire par la translation du centre du domaine élastique.

### **V.1.3 Modèle d'AMSTRONG et FREDERICK**

Le modèle de AMSTRANG et FREDERICK décrit un écrouissage cinématique non linéaire donc le centre du domaine élastique varie d'une manière non linéaire en fonction du sens du chargement et la courbe sera (Figure V.6):

- **Fichier matériau**
  - Module de Young  $E=206000$  MPa.
  - Coefficient de Poisson 0.3
  - Les paramètres identifiés du modèle :

$$R_0 = 160.$$

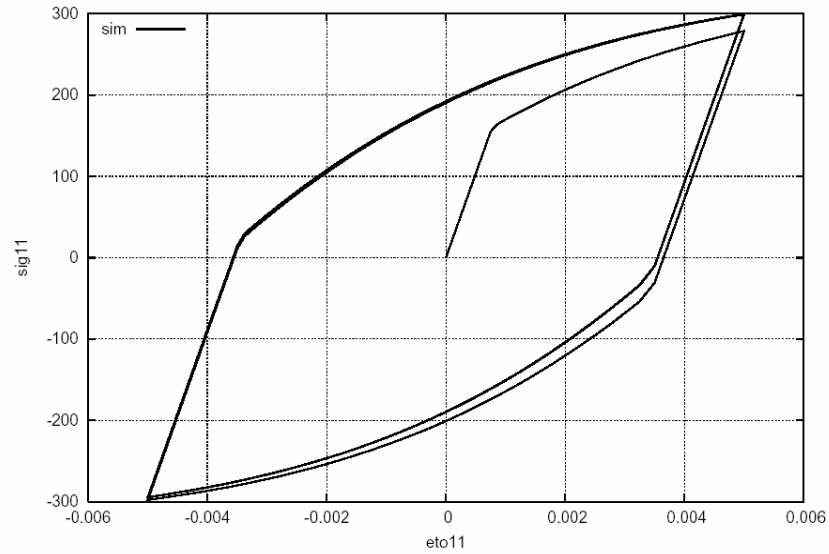
$$Q = 0.$$

$$b = 0.$$

$$C = 51200.$$

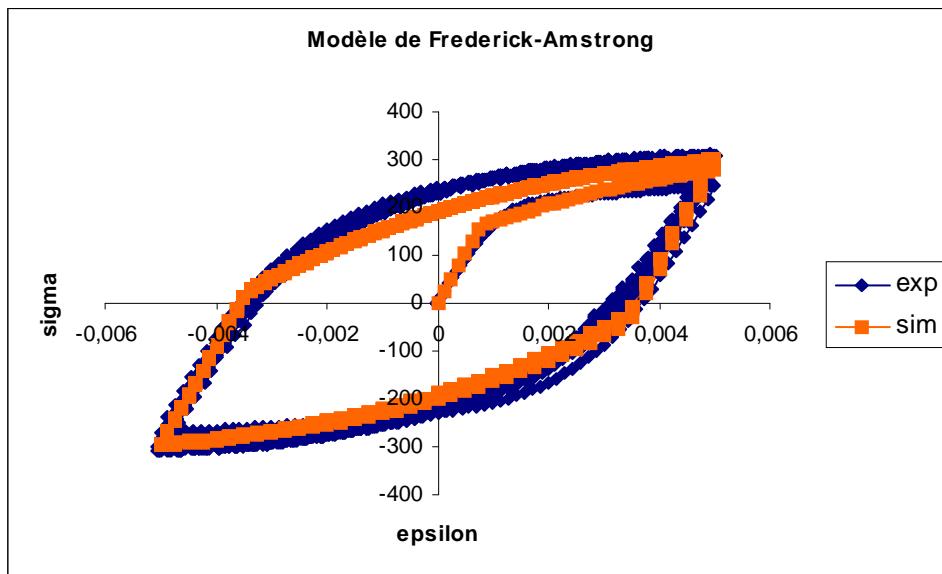
$$D = 400.$$

La simulation du modèle donne la courbe suivante :



**Figure V.6- Modèle cinématique non linéaire 'AMSTRANG et FREDERICK' pour 10 cycles**

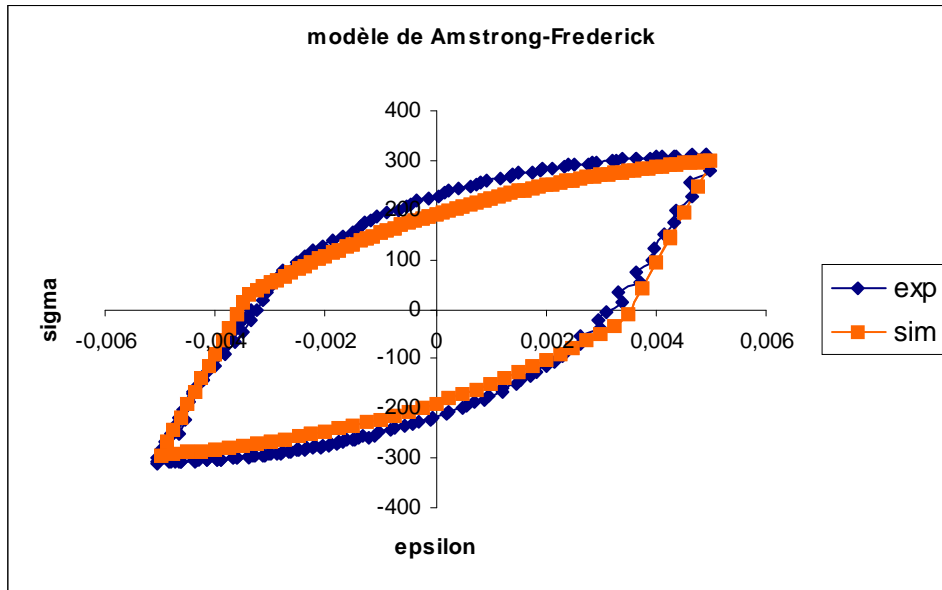
La superposition de la courbe simulée avec l'expérimentale est donnée sur la Figure (V.6)



**Figure V.7- Superposition du graphe théorique et expérimentale pour le modèle AMSTRANG et FREDERICK**

Les inconvénients de la loi de Prager (la linéarité) levés par le terme de rappel introduit par Armstrong et Frederick, semble donner une amélioration apparente du comportement qui se rapproche de plus en plus du comportement réel du matériau.

La superposition des cycles stabilisés simulée et expérimentale est représentée sur la Figure (V.6)



**Figure V.8- Superposition du graphe théorique et expérimentale pour le cycle stabilisé pour le modèle AMSTRANG et FREDERICK**

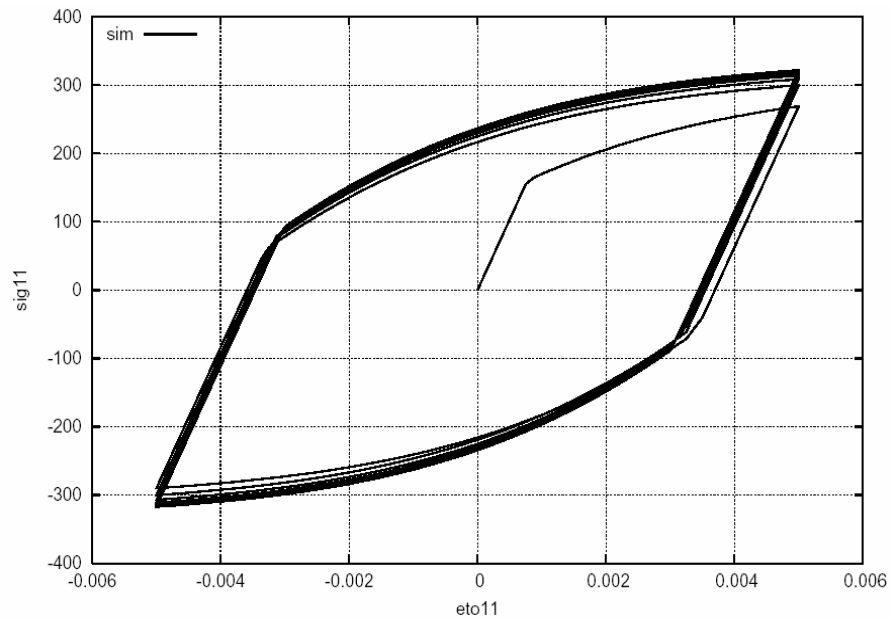
On remarque un léger décalage par rapport à la courbe expérimentale ce qui amène à conclure que le modèle cinématique non linéaire est notamment plus représentatif du comportement du matériau, que le modèle cinématique linéaire et la partie plastique varie selon une loi exponentielle dans le chargement et le déchargement. On retrouve ici un autre résultat classique.

#### V.1.4 Modèle de CHABOCHE

Le centre du domaine élastique varie encore d'une manière non linéaire ce modèle est un combinaison entre écrouissage cinématique et isotrope (Figure V.8).

- **Fichier matériau**
  - Module de Young  $E=206000$  MPa.
  - Coefficient de Poisson 0.3
  - Les paramètres identifiés du modèle :
    - $R_0 = 160.$
    - $Q = 45.$
    - $b = 29.$
    - $C = 51200.$

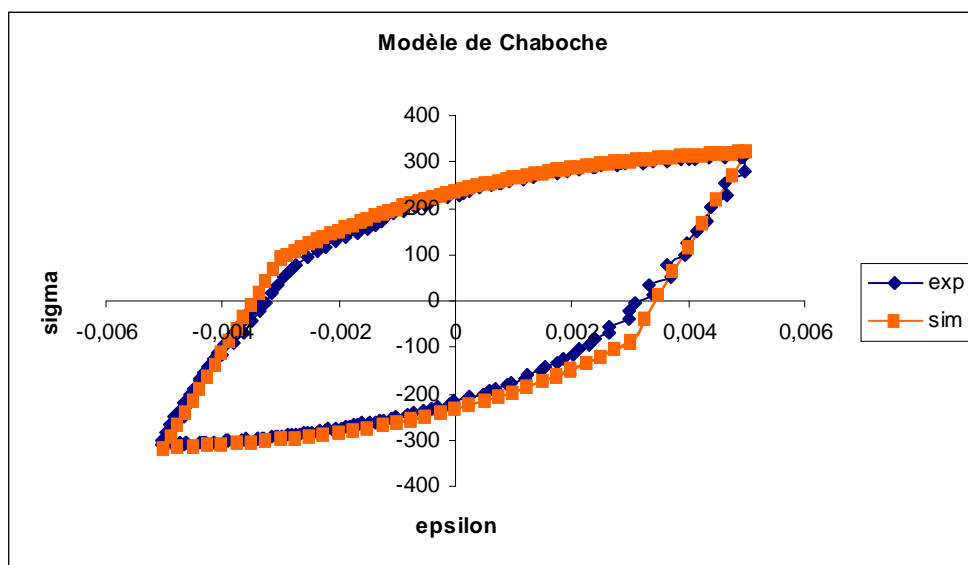
$D = 400$ .



*Figure V.9- Modèle de 'CHABOCHE' pour 10 cycles*

Dans ce cas, le domaine élastique varie en dimensions et subi une translation dans l'espace des contraintes. La combinaison entre écrouissage cinématique et isotrope donne une nette amélioration de la prévision du comportement du matériau.

La superposition du dernier cycle donne :



*Figure V.11- Superposition du graphe théorique et expérimentale pour le cycle stabilisée pour le modèle de CHABOCHE*



On remarque la légère différence entre la courbe expérimentale et celle calculée. Le modèle de CHABOCHE semble le mieux représentatif du comportement du matériau. Le domaine élastique reste toujours linéaire de pente égale au module de Young.

## V.2 COMMENTAIRE SUR LES RESULTATS

Les cinq graphes donnent l'évolution de la contrainte en fonction de la déformation, représentée par une courbe de chargement suivi d'un déchargement. Cette courbe est linéaire dans la figure V.4 (modèle de PRAGER) tandis que dans les autres modèles, elle est non linéaire.

La première partie de la courbe, représente la partie élastique, et la deuxième qu'elle soit linéaire ou non linéaire, représente la partie plastique.

Le déchargement rejoint la courbe de chargement au point défini par la déformation plastique maximale imposée.

Remarquons toutefois dans les modèles isotropes, la croissance de la contrainte a la charge dont la limite atteinte en chargement est inférieure a celle atteinte en déchargement, ce qui n'apparaît pas dans les modèles cinématique ou les contraintes maximales atteintes en chargement sont presque égales a celles atteintes en déchargement. Cela est dû au fait qu'il y a conservation de la taille du domaine élastique dans le cas de l'écroutissage isotrope tandis que ce n'est pas le cas pour l'écroutissage cinématique ou il y a translation du domaine d'élasticité.

En analysant les figures (V.4), (V.6), (V.9), on peut voir que l'effet BAUCHINGER est clairement représenté. Les effets ROCHETS ne sont pas décrits, car nous ne disposons des graphes dans lequel la déformation est imposée. L'évolution du module d'écroutissage dans le cas de l'écroutissage cinématique non linéaire ainsi que dans le modèle de CHABOCHE est donnée par des relations faisant intervenir les constantes  $C$  et  $\gamma$ , qui permettent un écoulement non linéaire; tandis que dans le cas de l'écroutissage isotrope linéaire et celui de PRAGER elle est donnée par une seule constante, soit la constante isotrope soit la constante cinématique.

### V.3 TESTS SUR DES ESSAIS COMBINANT LA TRACTION ET LA TORSION

Dans ce qui suit, je présente les résultats commentés de quelques histoires de chargement simulées.

#### V.3.1 Premier cas : Déformation imposée en traction

L'exemple suivant concerne l'application d'une contrainte de cisaillement  $\sigma_{12}$  et d'une déformation imposée dans la direction de la traction  $\epsilon_{11}$  entre 0.05 % et - 0.05 % et les résultats obtenus sont :

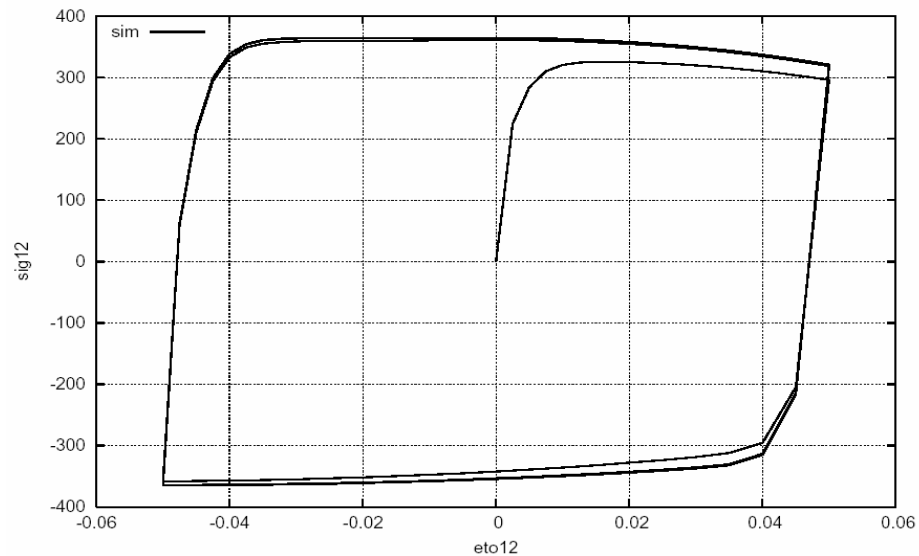


Figure V.12- Courbe cyclique dans la direction 1-2

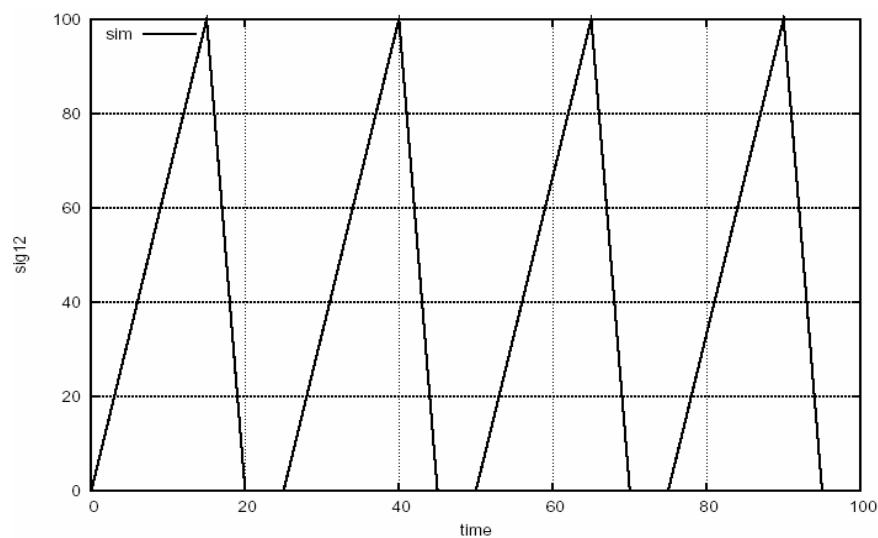
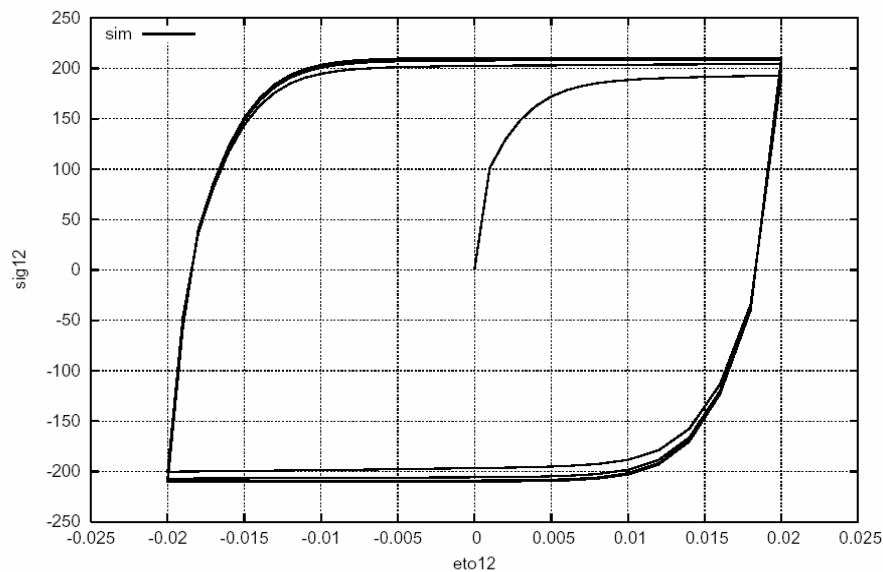


Figure V.13 - Histoire de chargement

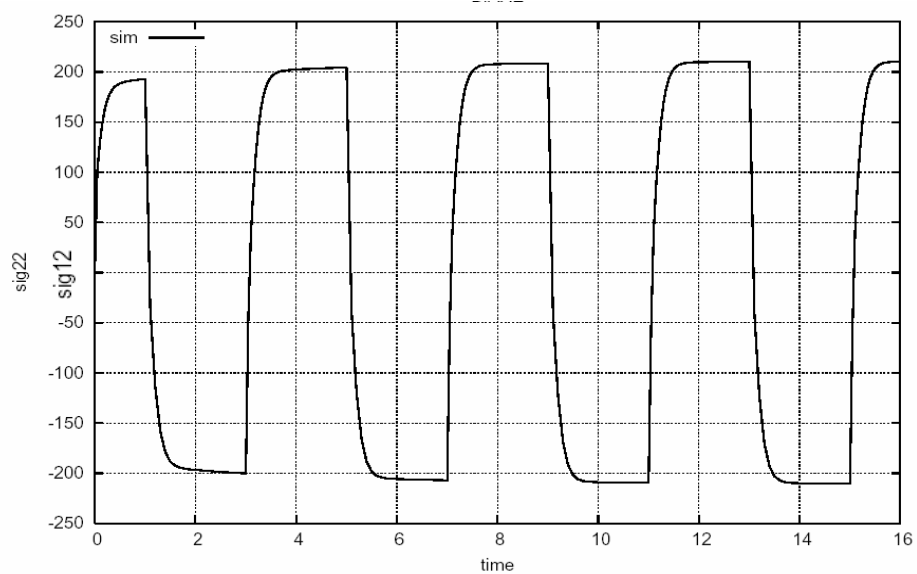
On remarque un durcissement cyclique suivant la direction de cisaillement, la contrainte de cisaillement atteint une valeur en dessus de 300 MPa.

### V.3.2 Deuxième cas : Déformation imposée dans la direction de torsion

Cet exemple consiste à appliquer une contrainte dans la direction de la traction, tandis que la déformation est imposée dans la direction de cisaillement entre 0.02 % et – 0.02 % et les résultats obtenus sont :



*Figure V.14- Courbe cyclique dans la direction 1-2*



*Figure V.15 - Histoire de chargement*

Il y'a un durcissement cyclique dans la direction du cisaillement et la contrainte maximale atteinte sont inférieurs au cas précédent (200 MPa).

### V.3.3 Troisième cas

Dans ce cas, l'histoire de chargement est donnée sur la figure V.12. J'ai testé une histoire de chargement dont l'allure est :

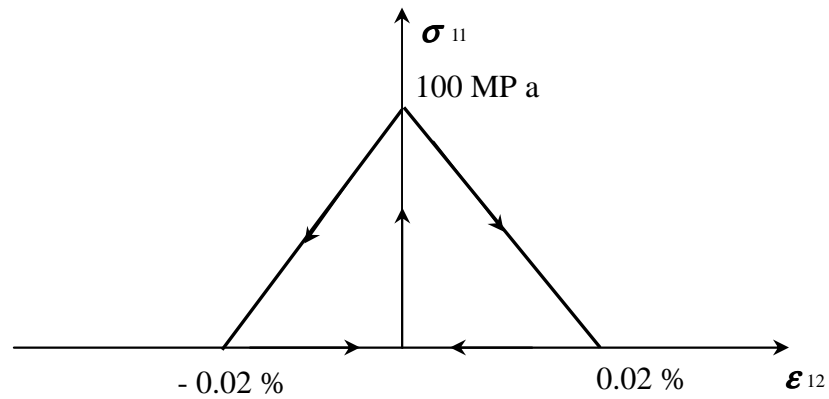


Figure V.16 - Histoire de chargement

Les résultats obtenus sont :

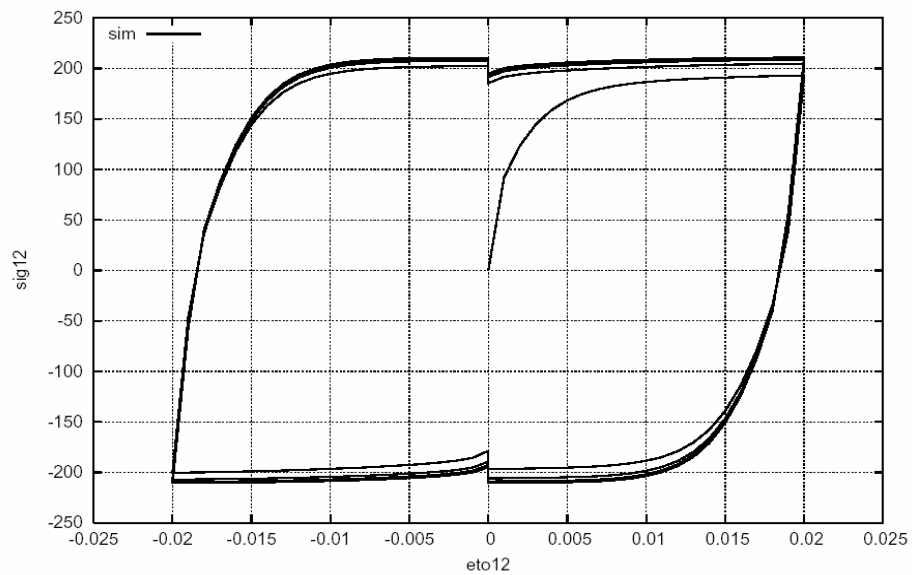
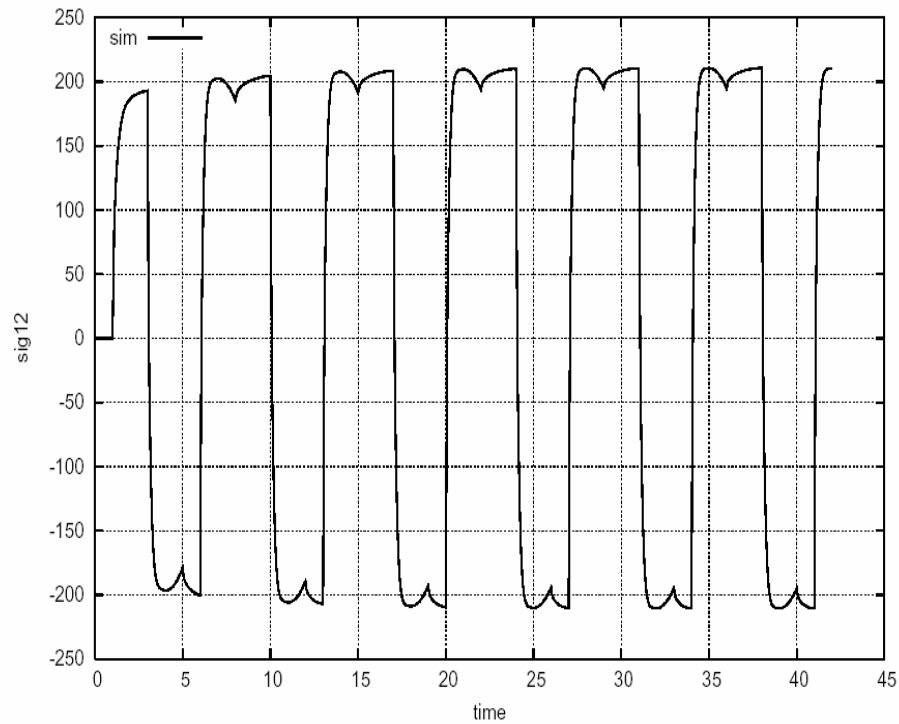


Figure V.17- Courbe cyclique dans la direction 1-2

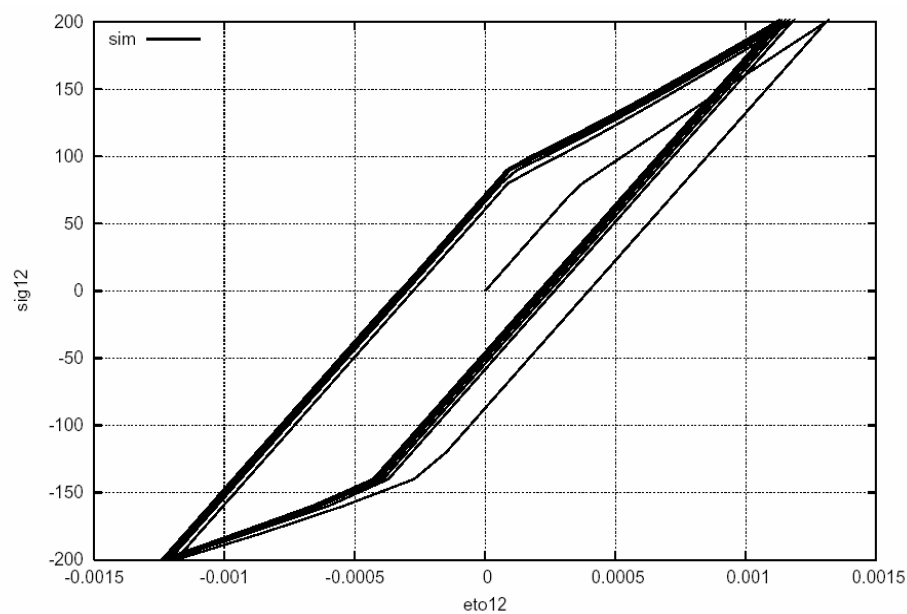


*Figure V.18 - Histoire de chargement*

### V.3.4 Tests sur le rochet

- *Cas 1 :*

L'exemple suivant concerne l'application d'un cisaillement constant et d'une tension alternée symétrique, variant de 200 MPa à -200 MPa. Les contraintes  $\sigma_{11}$  et  $\tau$  prennent ici la même valeur. Les résultats obtenus sont :

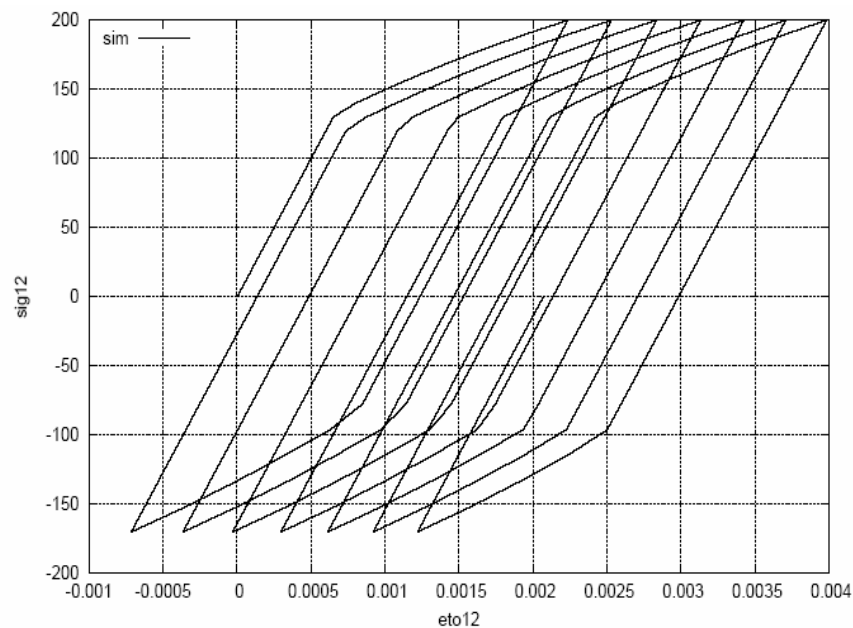


*Figure V.19 - Courbe cyclique*

Le couplage entre la traction cyclique et la torsion constante, même symétrique, conduit à l'apparition d'une déformation progressive multiaxiale, mais dans le sens négatif.

- **Cas2 :**

Dans ce cas on a imposé une contrainte de traction non symétrique entre les valeurs de 200MPa et  $-170$ MPa et une contrainte de cisaillement constante d'une valeur de 60MPa. Les résultats obtenus sont :

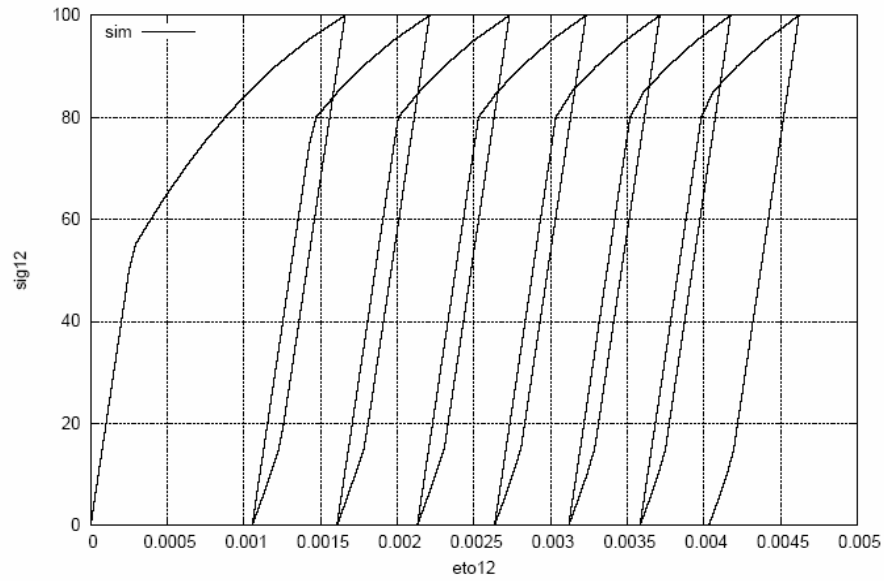


**Figure V.20 - Courbe cyclique**

On constate que la déformation augmente progressivement avec un pas constant. Seulement, j'aimerais bien avoir une explication sur la linéarité de la courbe ?

- **Cas3 :**

Dans ce cas on a imposé torsion non symétrique entre les valeurs de 150Mpa et  $-50$  MPa et une tension constante d'une valeur de 100MPa.



**Figure V.20 - Courbe cyclique**

Comme dans le deuxième cas, on constate que la déformation augmente aussi, progressivement avec un pas constant, mais l'allure de la courbe cyclique est non linéaire.

# ***Conclusion générale***



## CONCLUSION GENERALE

Dans ce travail nous nous sommes attachés à l'étude des différents modèles de comportement en élastoplasticité cyclique.

Les résultats présentés sous forme de graphes donnent clairement l'évaluation de la contrainte en fonction de la déformation durant tous cycles.

La réalisation de ce travail n'a pu être faite sans la partie expérimentale tirée d'une référence bibliographique à partir de laquelle on a prélevé les différents coefficients injectés dans notre simulation.

Dans tous les résultats obtenus on remarque que les modèles non linéaires se rapprochent le plus du comportement réel du matériau sauf le modèle isotrope non linéaire on remarque un décalage très apparent entre la courbe expérimentale et celle calculée. Ce modèle ne donne pas une meilleure représentation du comportement réel du matériau.

Dans la simulation, par rapport au modèle isotrope et cinématique, le modèle de CHABOCHE semble donner une meilleure description du premier cycle. Les autres modèles cinématiques peuvent être également intéressants puisqu'ils représentent clairement l'effet BAUC'HINGER mais ceux isotropes sont moins bons.

La combinaison de l'écroutissage cinématique et de l'écroutissage isotrope rend compte d'un certain durcissement cyclique.

Le modèle cinématique peut être intéressant pour décrire le premier cycle, mais il a ces inconvénients surtout pour le modèle de PRAGER et de FREDERICK et AMSTRONG ou on a une mauvaise représentation de l'effet BAUCHINGER.

Malgré les améliorations apportées par l'écroutissage cinématique non linéaire vis-à-vis de l'écroutissage isotrope, celui-ci fournit une description insuffisante lorsque le domaine de variation des déformations est important.

Dans les tests sur des essais combinant la traction et la torsion le durcissement cyclique se fait suivant la direction de cisaillement.

Le couplage entre la traction cyclique et la torsion constante, même symétrique, conduit à l'apparition d'une déformation progressive multiaxiale, mais dans le sens négatif.

Dans la présente étude nous avons pu reproduire de façon réaliste les phénomènes observés lors du chargement cyclique. La combinaison entre l'expérimental et le numérique conduit à une meilleure représentation du comportement du matériau et des propriétés qu'il doit présenter pour satisfaire le besoin.

# **ANNEXES**

## MODULE DE YOUNG

Les caractéristiques mécaniques des matériaux sont variables d'un échantillon à l'autre. Néanmoins, pour les calculs, on peut considérer en bonne approximation les valeurs suivantes :

Métaux purs		Alliages		Verres, céramiques, oxydes, carbures métalliques, minéraux	
Matériaux	Module (MPa)	Matériaux	Module (MPa)	Matériaux	Module (MPa)
<u>Aluminium</u> (Al)	69 000	<u>Acier de construction</u>	210 000	<u>Arsenic</u> (As)	8 000
<u>Argent</u> (Ag)	83 000	<u>Acier à ressorts</u>	220 000	<u>Arséniure de gallium</u> (AsGa)	85 500
<u>Baryum</u> (Ba)	13 000	<u>Acier inoxydable 18-10</u>	203 000	<u>Béton</u>	20 000
<u>Béryllium</u> (Be)	240 000	<u>Bronze (cuivre + 9 à 12% d'étain)</u>	124 000	<u>Brique</u>	14 000
<u>Bismuth</u> (Bi)	32 000	<u>Bronze au Béryllium</u>	130 000	<u>Calcaire</u> (carbonate de calcium CaCO <sub>3</sub> , pierres)	20 à 70 000
<u>Cadmium</u> (Cd)	50 000	<u>Cuivre laminé U4 (Recuit)</u>	90 000	<u>Carbure de chrome</u> (Cr <sub>3</sub> C <sub>2</sub> )	373 130
<u>Césium</u> (Cs)	1 700	<u>Cuivre laminé U4 (Écroui dur)</u>	150 000	<u>Carbure de silicium</u> (SiC)	450 000
<u>Chrome</u> (Cr)	289 000	<u>Duralumin AU4G</u>	75 000	<u>Carbure de Titane</u> (TiC)	440 000
<u>Cobalt</u> (Co)	209 000	<u>Fontes</u>	83 à 170 000	<u>Carbure de tungstène</u> (WC)	650 000
<u>Cuivre</u> (Cu)	124 000	<u>Hastelloy B2 (Ni + Mo)</u>	217 000	<u>Diamant</u> (C)	1 000 000
<u>Étain</u> (Sn)	41 500	<u>Hastelloy C 2000 (Ni + Cr + Mo)</u>	206 000	<u>Graphite</u>	30 000
<u>Fer</u> (Fe)	196 000	<u>Inconel X-750 (Ni + Cr + Fe)</u>	212 à 218 000	<u>Granite</u>	60 000
<u>Germanium</u> (Ge)	89 600	<u>Invar</u>	140 000	<u>Marbre</u>	26 000
<u>Indium</u> (In)	110 000	<u>Monel 400 (Ni + Cu)</u>	173 000	<u>Mullite</u> (Al <sub>6</sub> Si <sub>2</sub> O <sub>13</sub> )	145 000
<u>Iridium</u> (Ir)	528 000	<u>Nimonic 90</u>	213 à	<u>Alumine</u> (Oxyde d'Aluminium Al <sub>2</sub> O <sub>3</sub> )	390 000
<u>Lithium</u> (Li)	4 900				
<u>Magnésium</u> (Mg)	45 000				
<u>Manganèse</u> (Mn)	198 000				
<u>Molybdène</u> (Mo)	329 000				
<u>Nickel</u> (Ni)	214 000				

<u>Niobium</u> (Nb)	105 000	(Ni + Cr + Co)	240 000	Oxyde de béryllium (BeO)	30 000
<u>Or</u> (Au)	78 000	Nispan (Ni + Cr + Ti)	165 à 200 000	Oxyde de magnésium (MgO)	250 000
<u>Palladium</u> (Pd)	121 000	<u>Phynox</u> (Co + Cr + Ni + Mo)	203 400	Oxyde de zirconium (ZrO)	200 000
<u>Platine</u> (Pt)	168 000			<u>Saphir</u>	420 000
<u>Plomb</u> (Pb)	18 000			<u>Silice</u> (oxyde de silicium SiO <sub>2</sub> )	107 000
<u>Plutonium</u> (Pu)	96 000			Titanate d'aluminium (Ti <sub>3</sub> Al)	140 000
<u>Rhodium</u> (Rh)	275 000			Titanate de baryum (BaTiO <sub>3</sub> )	67 000
<u>Rubidium</u> (Rb)	2 400			<u>Verre</u>	69 000
<u>Ruthénium</u> (Ru)	447 000				
<u>Scandium</u> (Sc)	74 000				
<u>Sélénium</u> (Se)	10 000				
<u>Sodium</u> (Na)	10 000				
<u>Tantale</u> (Ta)	186 000				
<u>Titane</u> (Ti)	114 000				
<u>Tungstène</u> (W)	406 000				
<u>Uranium</u> (U)	208 000				
<u>Vanadium</u> (V)	128 000				
<u>Zinc</u> (Zn)	78 000				
<u>Zirconium</u> (Zr)	68 000				

Bois		Polymères, fibres		Biomatériaux	
Matériaux	Module (MPa)	Matériaux	Module (MPa)	Matériaux	Module (MPa)
<u>Acajou</u> (Afrique)	12 000	<u>caoutchoucs</u>	700 à 4 000	<u>Cartilage</u>	24
<u>Bambou</u>	20 000	<u>Fibre de carbone haut module</u>	640 000	<u>Cheveux</u>	10 000
<u>Bois de rose</u> (Brésil)	16 000	<u>Fibre de carbone haute résistance</u>	240 000	<u>Collagène</u>	6
<u>Bois de rose</u> (Inde)	12 000	<u>Kevlar</u>	34 500	<u>Fémur</u>	17 200
<u>Chêne</u>	12 000	<u>Nanotubes</u> (Carbone)	1 100 000	<u>Humérus</u>	17 200
<u>Contreplaqué</u> <u>glaw</u>	12 400	<u>Nylon</u>	2 000 à 5 000	<u>Piquant</u> <u>d'oursin</u>	15 000 à 65 000
<u>Épicéa</u>	13 000	<u>Plexiglas</u> ( <u>Polyméthacrylate</u> <u>de méthyle</u> )	2 380	<u>Radius</u>	18 600
<u>Érable</u>	10 000	<u>Polyamide</u>	3 000 à 5 000	<u>Soie</u> <u>d'araignée</u>	60 000
<u>Frêne</u>	10 000	<u>Polycarbonate</u>	2 300	<u>Tibia</u>	18 100
<u>Papier</u>	3 000 à 4 000	<u>Polyéthylène</u>	200 à 700	<u>Vertèbre</u> <u>cervicale</u>	230
<u>Séquoia</u>	9 500	<u>Polystyrène</u>	3 000 à 3 400	<u>Vertèbre</u> <u>lombaire</u>	160
		<u>Résines époxy</u>	3 500		

N.B. Ces valeurs sont celles du module d'élasticité dans le sens parallèle au fil (bois = matériau anisotrope). Dans une même essence, celui-ci varie en fonction de l'humidité, de la densité (qui n'est évidemment pas constante, bois = matériau hétérogène) et d'autres caractéristiques (longueur des fibres...).

## EPROUVETTE D'ESSAI

Pour éviter le flambage lors de la compression, on utilise des éprouvettes lisses, cylindriques, très compactes, dont le rapport longueur utile, diamètre  $d$  est suffisamment faible ( $2d < l < 4d$ ) et qui possèdent des congés de raccordement importants.

Lors de l'amarrage des éprouvettes sur la machine, il faut avoir une parfaite axialité des têtes d'amarrage pour éviter tout effort parasite de flexion.

Quelques exemples de dessins cotés d'éprouvettes ayant fait leurs preuves sont donnés dans les figures ci-dessous.

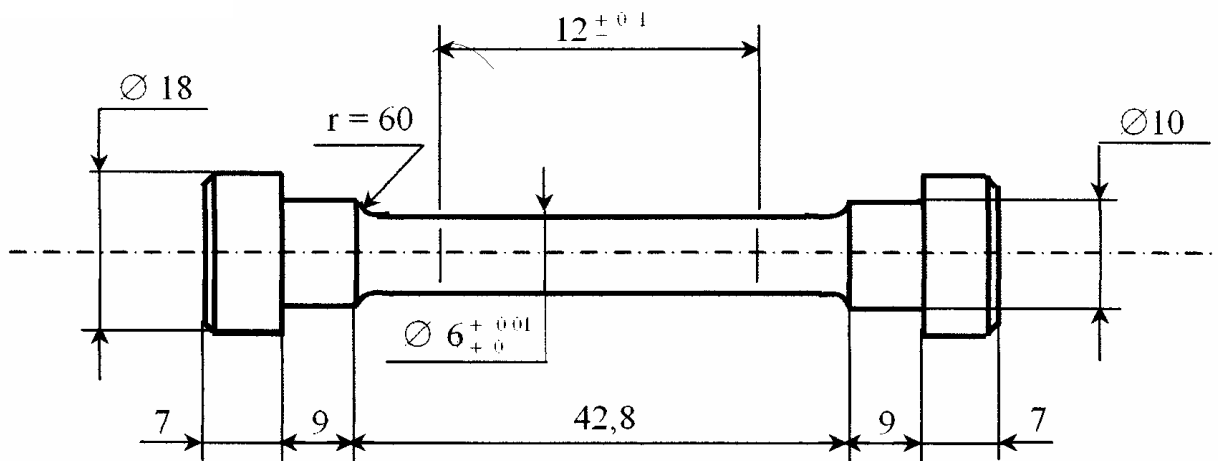


Figure 1 : Eprouvettes de traction / compression pour extensomètre extérieur ou jauge

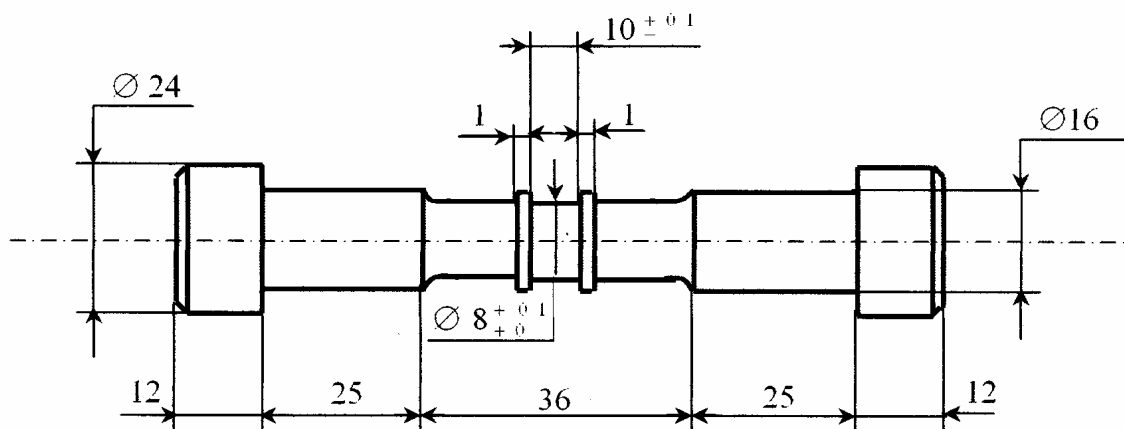


Figure 2 : Eprouvettes de traction / compression pour extensomètre local ou optique

## SYMBOLES

$b$	Constante indiquant la rapidité de la stabilisation.
$\vec{b}$	Vecteur de BURGERS.
$C$	Coefficient caractéristique du matériau [N/mm <sup>2</sup> ].
$C_i$	Constante isotrope [N/mm <sup>2</sup> ].
$C_c$	Constante cinématique [N/mm <sup>2</sup> ].
$E$	Module d'élasticité d'YOUNG [N/mm <sup>2</sup> ].
$E_T$	Module tangent [N/mm <sup>2</sup> ].
$F$	Force de traction [N].
$f$	Fonction critère de plasticité.
$f_y$	Fonction critère de la limite d'élasticité.
$H$	Module d'écrouissage [N/mm <sup>2</sup> ].
$g$	Fonction d'écrouissage.
$l_0$	Longueur de l'éprouvette [mm].
$N_R$	Nombre de cycles a rupture.
$p$	Déformation plastique cumulée [mm].
$Q$	Variable de mémoire .de l'écrouissage [N/mm <sup>2</sup> ].
$R$	Variable d'écrouissage isotrope [N/mm <sup>2</sup> ].
$r$	Rayon du cylindre de VON MISES [mm].
$S$	Entropie spécifique [J/ K].
$s_0$	Section de l'éprouvette [mm <sup>2</sup> ].
$t$	Temps [s].
$T_R$	Temps a rupture [s].
$T$	Température absolue [K0].



$T_f$	Température de fusion [K°].
$X$	Teneur variable d'écrouissage cinématique.
$\alpha$	Variable d'écrouissage cinématique.
$\gamma$	. Densité d'énergie de décohésion.
$\Gamma$	Fonction introduisant l'écrouissage.
$\Delta\varepsilon$	Amplitude de déformation [mm].
$\Delta\sigma$	Amplitude de contrainte [N/mm <sup>2</sup> ].
$\varepsilon$	Déformation uni axiale [mm].
$\varepsilon^e$	Déformation élastique [mm].
$\varepsilon^p$	Déformation plastique [mm].
$\bar{\varepsilon}$	Tenseur de déformation.
$\bar{\varepsilon}^e$	Tenseur de déformation élastique.
$\bar{\varepsilon}^p$	Tenseur de déformation plastique.
$\varepsilon^+, \varepsilon^-$	Valeurs imposées de déformations [mm].
$\eta$	Coefficient d'amortissement [N.s/m].
$v_k$	Variable interne.
$\rho$	Masse volumique [kg/m <sup>3</sup> ].
$\sigma$	Contrainte uni axiale [N/mm <sup>2</sup> ].
$\sigma_s$	Contrainte seuil de plasticité [N/mm <sup>2</sup> ].
$\sigma_{yi}$	Contrainte limite élasticité initiale [N/mm <sup>2</sup> ].
$\sigma_{yi}^t$	Contrainte limite élastique initiale en traction [N/mm <sup>2</sup> ].
$\sigma_{yi}^c$	Contrainte limite élastique initiale en compression [N/mm <sup>2</sup> ].
$\sigma_{ya}^t$	Contrainte limite élastique actuelle en traction [N/mm <sup>2</sup> ].
$\sigma_{ya}^c$	Contrainte limite élastique actuelle en compression [N/mm <sup>2</sup> ].

---

$\sigma_m$	Contrainte moyenne [N/mm <sup>2</sup> ].
$\sigma^+, \sigma^-$	Valeurs imposées de contraintes [N/mm <sup>2</sup> ].
$\sigma_T$	Contrainte tangentielle [N/mm <sup>2</sup> ].
$\sigma_{eq}$	Contrainte équivalente de <i>VON MISES</i> [N/mm <sup>2</sup> ].
$\tau$	Contrainte de cisaillement [N/mm <sup>2</sup> ].
$\psi$	Energie libre spécifique [J]

**BIBLIOGRAPHIE**

- [1]: JACQ Christophe: Modélisation numérique du contact élastoplastique.2005.
- [2]: Rhass: Mécanique des milieux continus. Chapitre 4 : Critères de plasticité et de rupture.
- [3]: Véronique AUBIN : Plasticité cyclique d'un acier inoxydable austeno-ferritique sous chargement biaxial non-proportionnel.15 novembre 2001.
- [4]: CHENOTJ. L. : *Plasticité en mise en forme*. Technique de l'ingénieur Vol MCI, 2000.
- [5]: MICHAEL F., ASHBY, DA VID R., JONES H., Matériaux 1. Propriétés et applications. Edition DUNOD, 1998.
- [6]: CHALMERS B., Structure et propriétés des matériaux. Introduction a la science des matériaux. Edition MASSON ,1987. Traduit de l'anglais par WARINA.
- [7] BESSON J., ('AILLETA (ID G., FOREST S., CHABOCHE J L., Mécanique non Linéaire des matériaux. Edition HERMES, 2001.
- [8]: LEMAIIREI, C'HABOC'HE, I L., Mécanique des maté riaux so/ides. Edition DUNOD,1985
- [9]: PRAGER, W., L'évolution récente de la théorie mathématiques de la plasticité. physique appliqué, 1949. Vol. 20, n ° 3, p. 235-241.
- [10]: CHERBIT, G., Déformation progressive avec fluage de l 'acier 316 L a 650 °. Comparaison d 'essais avec et sans surcharge primaire on secondaire ,1987.

[11]: TALEB L., Structure métallique sous chargement thermomécanique de courte durée. Thèse Génie Civil Structure .Institut National des Sciences Appliquées de Lyon, 1991.

[12] LOSILLA G., Etude théorique de / 'écrouissage anisotrope des métaux et caractérisation expérimentale d 'une tôle laminée en traction bi axiale directe. Thèse de doctorat, 2001.

## ملخص

إن متانة المواد هي أحد فروع الهندسة الذي يدرس مختلف القوى، وخصائص المواد التي تمكّنها من مقاومة تلك القوى. فعندما يضع المهندسون تصميمًا لمبنى، أو آلة، فإنهم يراجعون البيانات التي توضح متانة مختلف المواد المستخدمة في ذلك وقد يقومون باختبارات عليها لمعرفة مدى متانتها. و تتوقف متانة المادة على خصائصها الميكانيكية التي تشمل المرونة وشدة الاحتمال والصلابة... الخ. و يتفاوت اجتماع هذه الخصائص الميكانيكية في كل مادة.

يمكن إيجاد هذه الخصائص عن طريق التجربة أو عن طريق الحسابات النظرية والتكامل بين التجربة والنظرية يعطينا معرفة جيدة بخصائص المادة.

يُشمل عملنا في هذه المذكرة في تعيين مختلف خصائص المادة نظريًا عن طريق الإجهاد الدوري بتطبيق عدة نماذج لباحثين معروفين في هذا الاختصاص، ومقارنة النتائج بأخرى تجريبية.

## **Résumé**

*La résistance des matériaux est l'une des branches de l'ingénierie qui étudie les diverses forces, et les propriétés des matériaux qui leur permettent de résister à ces forces.*

*Lorsque les ingénieurs développent une conception pour un bâtiment, ou une machine, ils sont révisés des données qui montrent la résistance des différents matériaux utilisés dans les essais, ils doivent savoir comment fort. Et la rigidité du matériau dépend de leurs caractéristiques mécaniques, dont la flexibilité et la charge et de la dureté ...etc. et la combinaison de ces diverses propriétés mécaniques de chaque article.*

*Ces caractéristiques peuvent être trouvées par l'expérience ou par des calculs théoriques et l'intégration entre la théorie et l'expérience nous donne une bonne connaissance des caractéristiques de l'article.*

*L'objectif de ce travail était d'étudier le comportement en fatigue cyclique théoriquement et la détermination des diverses propriétés de la matière théoriquement par l'application pour plusieurs modèles de comportement connue des chercheurs dans cette domaine, et de comparer les résultats avec autres expérimental.*

*Mots clés : lois de comportements, élastoplasticité cyclique, écrouissage cinématique, écrouissage isotrope, mécanique.*

## **Abstract**

*The strength of the materials is a branch of engineering that studies the forces and material properties that allow them to resist these forces.*

*When engineers develop a design for a building or a machine, they are revised data showing the resistance of different materials used in the tests, they must know how strong. And stiffness of the material depends on their mechanical characteristics, including flexibility and load and hardness ... etc.. and the combination of these mechanical properties of each item.*

*These features can be found by experience or by theoretical calculations and the integration between theory and experience gives us a good knowledge of the characteristics of the article.*

*The objective of this work was to study the cyclic fatigue behavior theory and the determination of various properties on the field theoretically by applying for several patterns of behavior known researchers in this field, and compare the results with other experimental.*

*Keywords: laws of behavior, élastoplasticité cyclic, kinematic hardening, isotropic hardening, mécanique.*